

Interaktive Computergrafik

Vorlesung im Sommersemester 2014

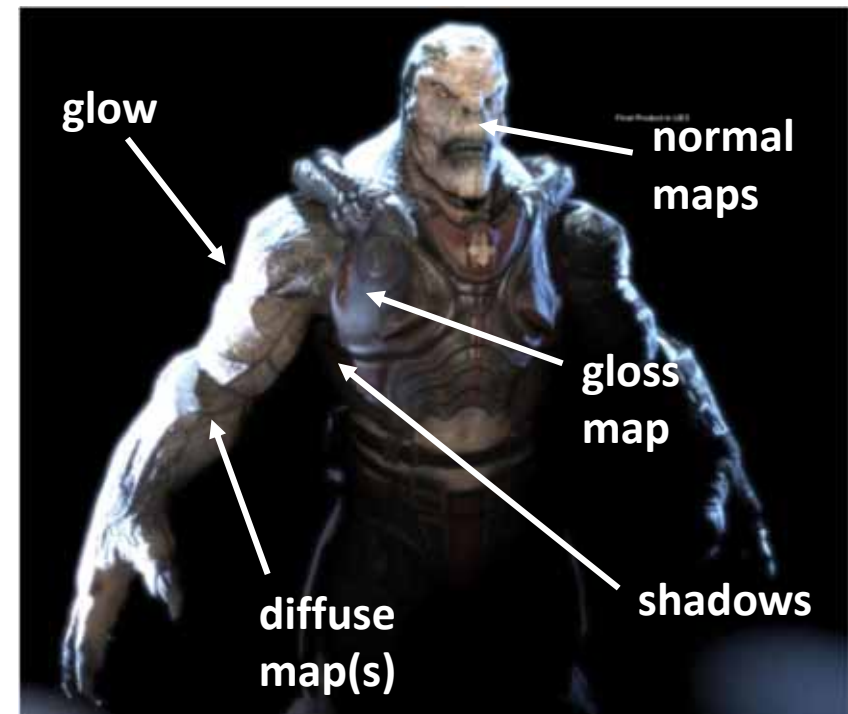
**Kapitel 1: Einführung, Normal und
Displacement-Mapping (Teil 2)**

Prof. Dr.-Ing. Carsten Dachsbacher
Lehrstuhl für Computergrafik
Karlsruher Institut für Technologie

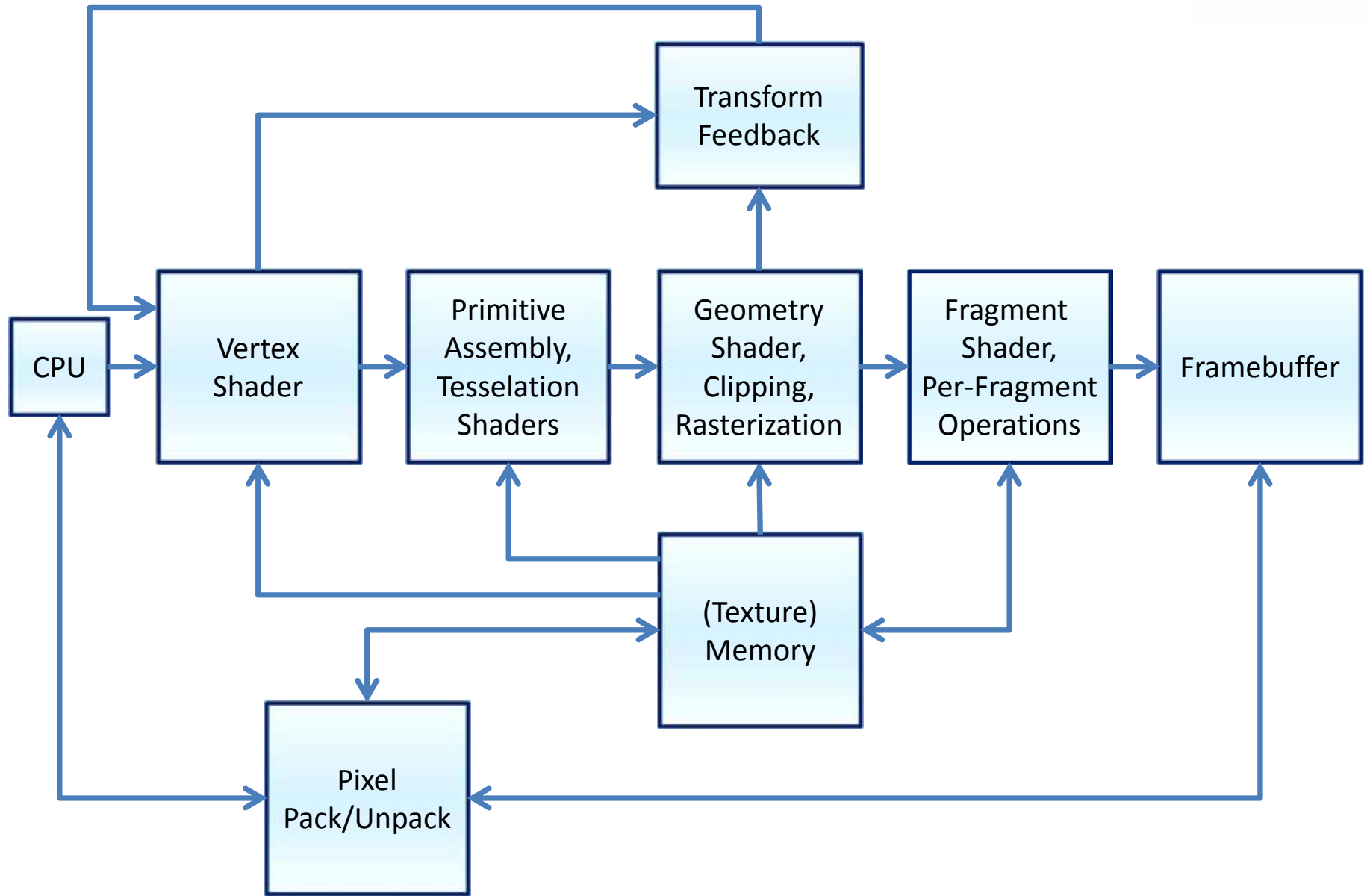


Die nächsten Schritte

- ▶ InCG verwendet fast immer Grafik-Hardware und meist Rasterisierung
 - ▶ wir orientieren uns an modernem OpenGL
 - ▶ die Techniken sind aber API-invariant, auch oft hybrid CPU-GPU, ...
- ▶ Überblick über dieses Kapitels
 - ▶ eine kurze Wiederholung zu OpenGL und Shader
 - ▶ Rendering-Techniken für detaillierte Oberflächen:
Normal und Displacement Mapping



OpenGL(4.x)-Pipeline



Geometrieverarbeitung: Vertex Shader



- ▶ Programmierung mit der C-ähnlichen OpenGL Shading Language (GLSL)
 - ▶ im Kompatibilitätsprofil, d.h. wenn man OpenGL-Altlasten mitschleppt: Zugriff auf OpenGL Zustände (Matrizen, Lichtquellen, ...)
- ▶ Transformation **einzelner** Vertices und Verarbeitung deren Attribute
- ▶ Beispiel eines Vertex Shader / Vertex Program im Kompatibilitätsprofil:

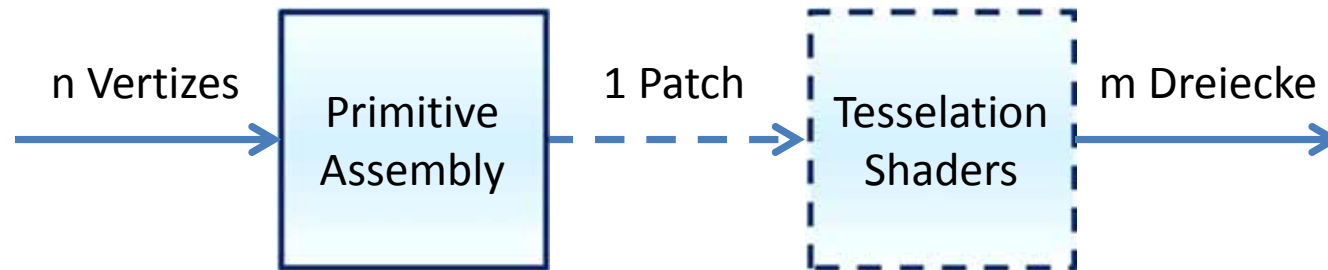
```
void main() {  
    gl_Position = gl_ModelViewProjectionMatrix * gl_Vertex;  
}
```

Geometrieverarbeitung: Vertex Shader



- ▶ Transformation **einzelner** Vertices und Verarbeitung deren Attribute
 - ▶ keine Vertex-Erzeugung
 - ▶ keine Vertex-Löschung
 - ▶ keine Informationen über andere Vertices
- ▶ Berechnung von Attributen, die für Fragmente interpoliert werden sollen
 - ▶ z.B. Beleuchtung per Vertex (Gouraud Shading, altmodisch) oder
 - ▶ Normalen für Phong Shading

Geometrieverarbeitung: Assembly + Tessellation



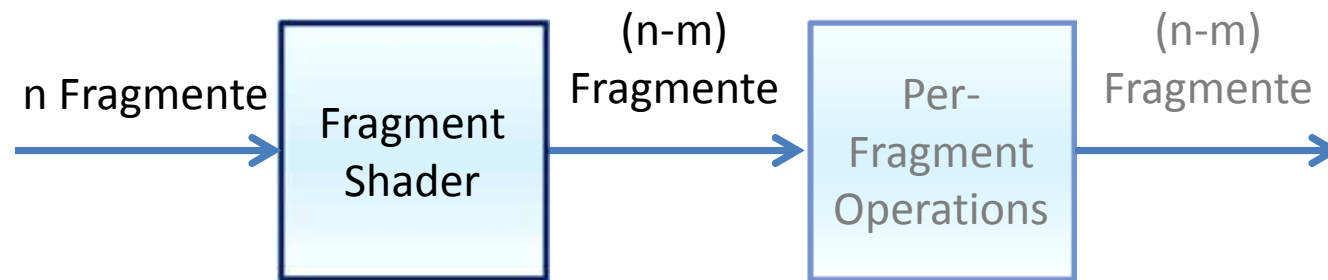
- ▶ **Primitive Assembly** setzt aus den Vertices die angeforderten Primitive zusammen und ist **nicht programmierbar**:
 - ▶ `GL_POINT`, `GL_LINE[*]`, `GL_TRIANGLE[*]`
in ihren unterschiedlichen Modi
`*_FAN`, `*_LOOP`, `*_STRIP`
- ▶ **Tessellation Shaders**
 - ▶ Tessellation Control Shader bestimmt die Unterteilung
 - ▶ Tesselator führt sie durch (nicht programmierbar)
 - ▶ Tessellation Evaluation Shader arbeitet auf der resultierenden Geometrie
 - ▶ spezieller Primitivtyp `GL_PATCH`

Geometrieverarbeitung: Geometry Shader etc.



- ▶ Geometry Shader (programmierbar, aber optional)
 - ▶ bearbeitet einzelne Primitive (Punkt, Linie, Dreieck)
 - ▶ kann Primitive vervielfachen, entfernen oder beliebig umwandeln (Punkte zu Dreiecke etc.)
- ▶ Clipping (am Sichtvolumen) ist nicht programmierbar
 - ▶ verwirft unsichtbare Punktprimitive
 - ▶ verändert Dreiecke durch Schnitt mit Sichtvolumen
- ▶ anschließend: perspektivische Division (nicht programmierbar)
- ▶ Rasterisierung generiert Fragmente für den Ausgabepuffer...

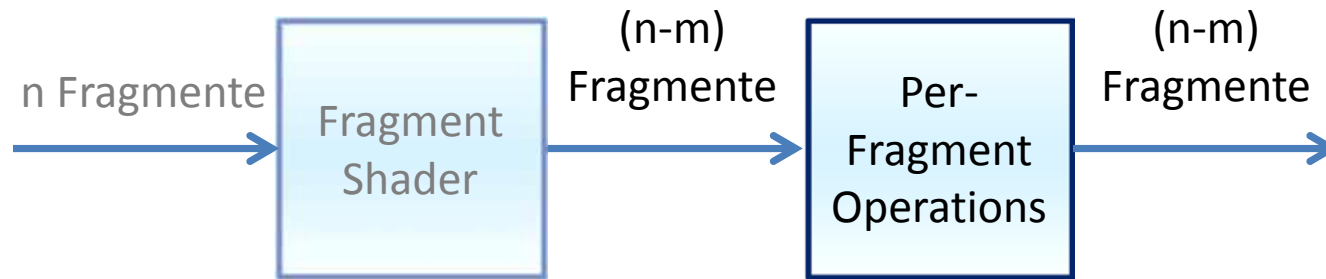
Fragmentverarbeitung



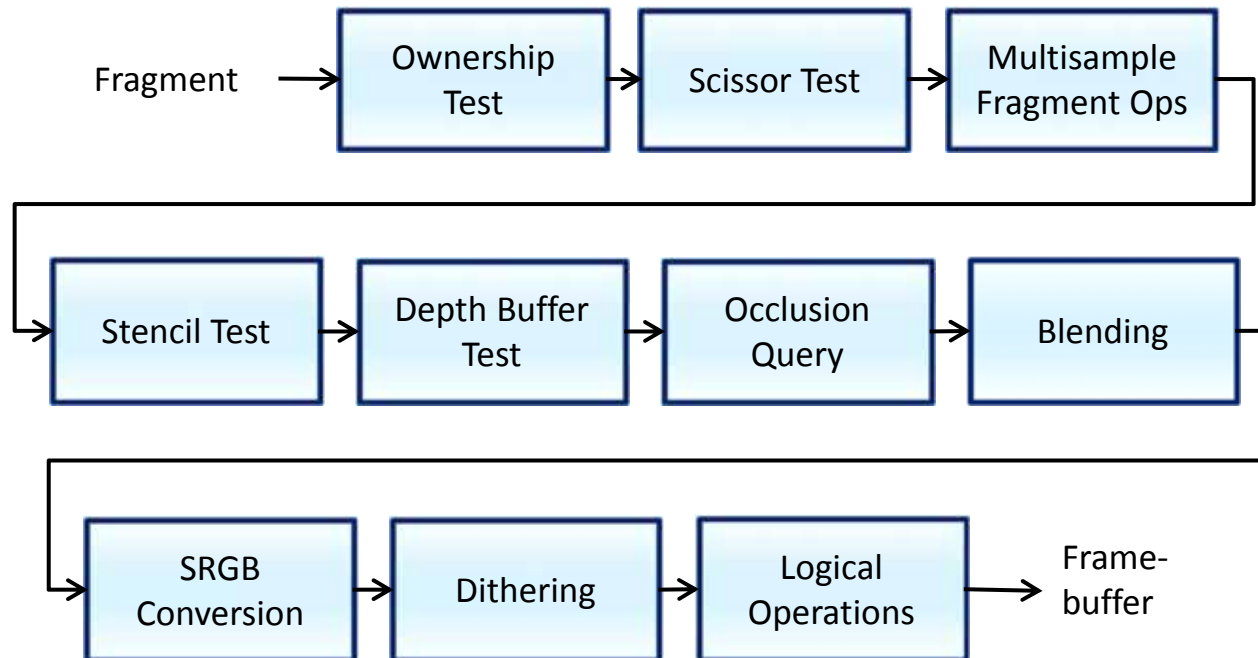
- ▶ ...für jedes dieser Fragmente wird ein **Fragment Shader/Program** ausgeführt
 - ▶ Berechnung von **Farbe, Transparenz**, und optional **Tiefe** pro Fragment
 - ▶ z.B. Phong Shading, also Beleuchtungsberechnung pro Pixel
 - ▶ Eingabe-Attribute werden innerhalb des Primitivs interpoliert
 - ▶ z.B. pro-Eckpunkt Normalen, die im Vertex Shader weitergegeben wurden
- ▶ Beispiel eines Fragment Program im OpenGL 2.0 oder Kompatibilitätsprofil:

```
void main() {  
    gl_FragColor = vec4( 1.0, 1.0, 1.0, 0.0 );  
}
```

Fragmentverarbeitung



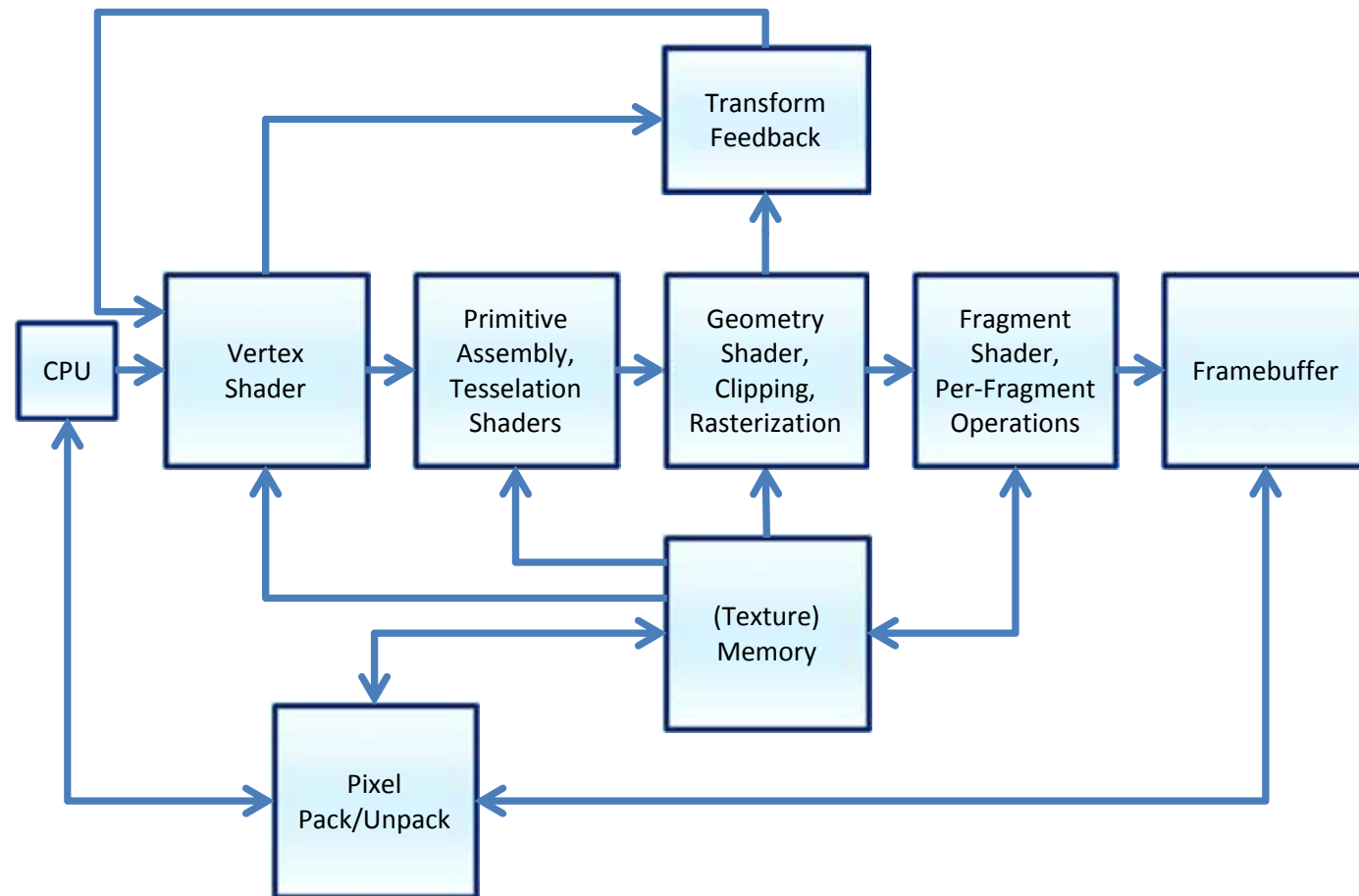
- ▶ Fragmentoperationen sind sehr wichtig für Rasterisierungsverfahren
 - ▶ Tiefentest, Blending, ...



Programmierbare Pipeline allgemein



- ▶ jede programmierbare Stufe kann wahlfrei lesend auf Puffer zugreifen
- ▶ Ausnahme: der Framebuffer kann nur geschrieben werden
- ▶ Transform Feedback schreibt Ergebnisse der Geometrieverarbeitung in einen Puffer



Fahrplan

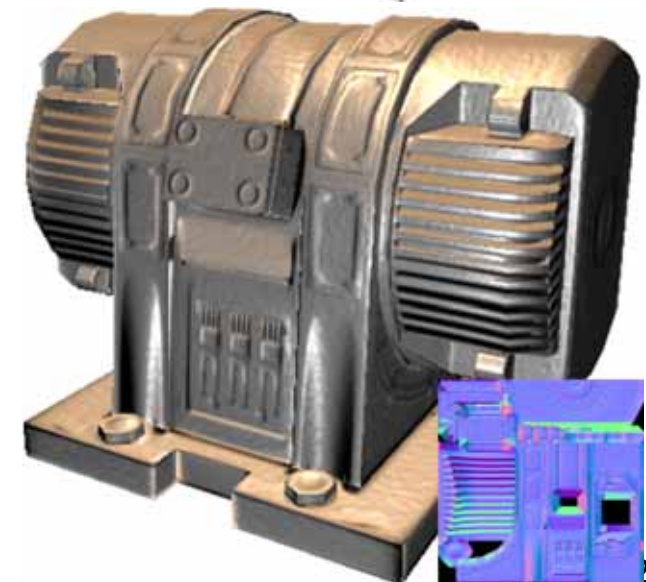
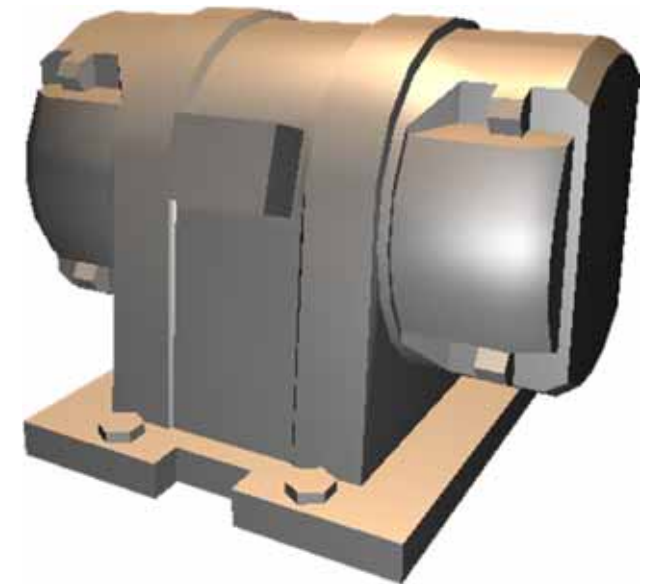
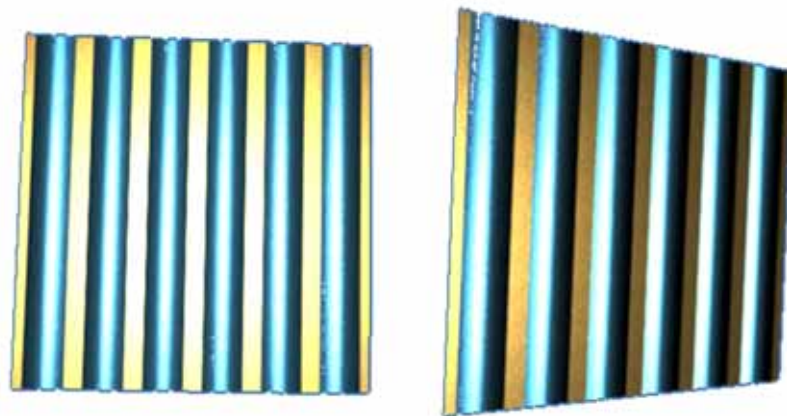
Unsere nächsten Schritte...

- ▶ mehr Oberflächendetail → realistische Beleuchtung
- ▶ Schattenverfahren und Voxelisierung → realistische Beleuchtung
- ▶ effizientes Shading in komplexen Szenen → Effizienz
- ▶ vorberechneter Lichttransport → Effizienz & Realismus
- ▶ Culling und Level of Detail → Effizienz
- ▶ ...



Per-Pixel vs Bump Mapping

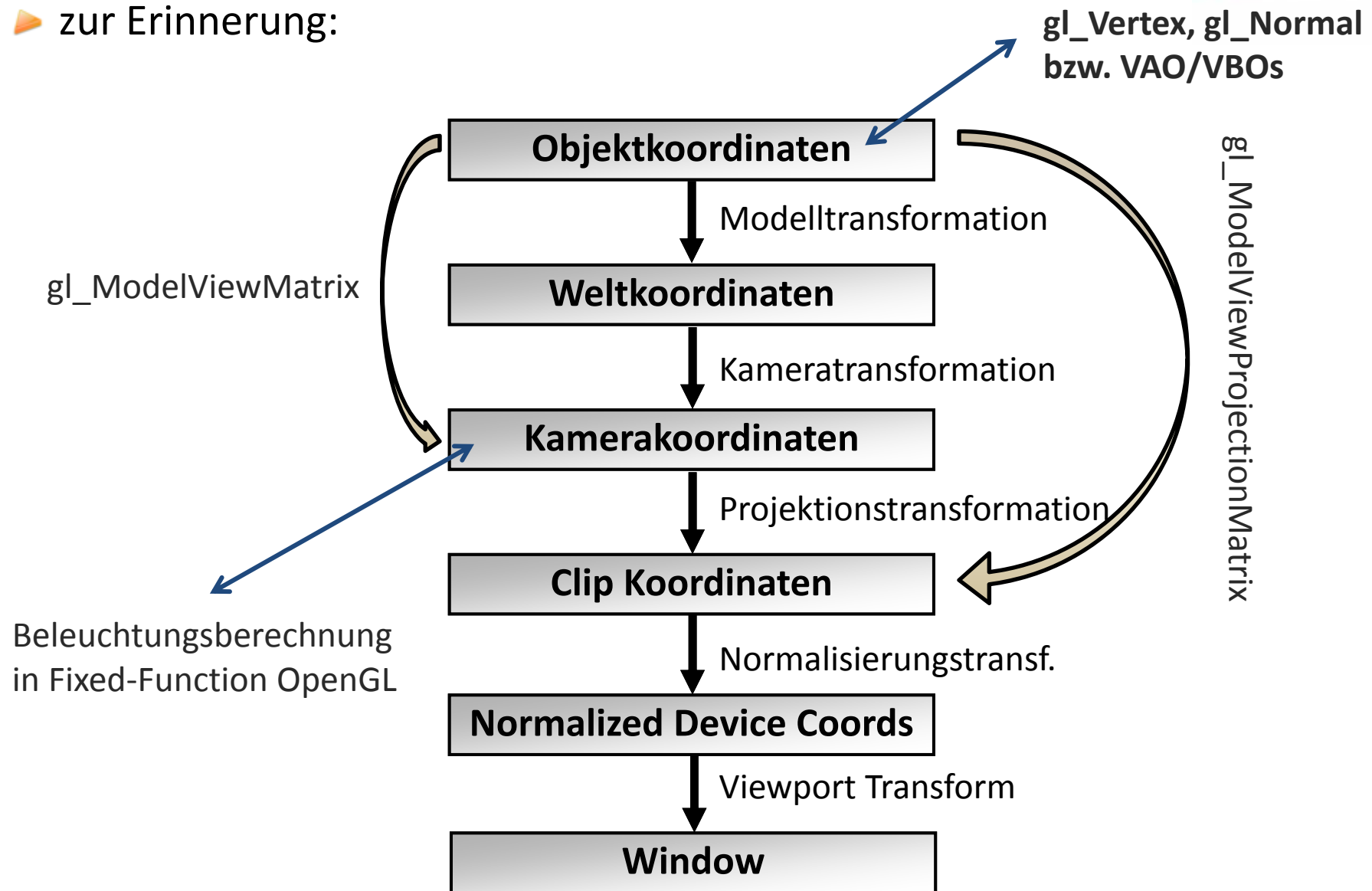
- ▶ Per-Vertex Lighting (Gouraud Shading)
- ▶ Per-Pixel Lighting (Phong Shading)
 - ▶ glatte Oberflächen
 - ▶ keine Machschen Band-Artefakte
- ▶ Bump/Normal-Mapping
 - ▶ raues Oberflächendetail nur in der Beleuchtung
 - ▶ Normalenvariation aus einer Textur
 - ▶ keine Änderung der Geometrie, deshalb mögliche Artefakte an den Silhouetten



Transformationspipeline



▶ zur Erinnerung:



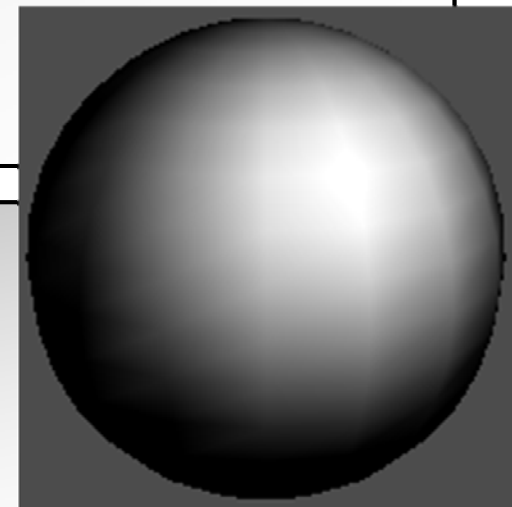
Mehr Infos:
<http://www.opengl.org/resources/faq/technical/viewing.htm>

GLSL 3.x/4.x Diffuse Beleuchtung



```
uniform mat4 matrixMVP, matrixMV, matrixNrml;  
uniform vec3 lightSourcePos; // Lichtquellenposition Kamerakoord.  
in vec4 in_position; // Eingabe: Vertexposition  
in vec3 in_normal; // Eingabe: Vertexnormale  
out vec4 color;  
void main() {  
    gl_Position = matrixMVP * in_position;  
    // Beleuchtungsberechnung in Kamerakoordinaten  
    vec3 P = vec3( matrixMV * in_position );  
    vec3 N = normalize( vec3( matrixNrml * vec4( in_normal, 0.0 ) ) );  
    vec3 L = normalize( lightSourcePos - P );  
    color = vec4( max( 0.0, dot( L, N ) ) );  
}
```

```
in vec4 color;  
out vec4 out_color;  
void main() {  
    out_color = color;  
}
```

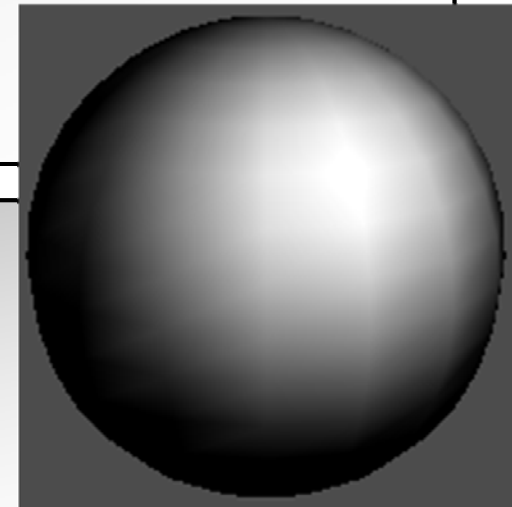


GLSL 3.x/4.x Diffuse Beleuchtung



```
uniform mat4 matrixMVP, matrixMV, matrixNrml;  
uniform vec3 lightSourcePos; // Lichtquellenposition Kamerakoord.  
in vec4 in_position; ← // Eingabe: Vertexposition  
in vec3 in_normal; ← // Eingabe: Vertexnormale  
out vec4 color;  
void main() {  
    gl_Position = matrixMVP * in_position;  
    // Beleuchtungsberechnung in Kamerakoordinaten  
    vec3 P = vec3( matrixMV * in_position );  
    vec3 N = normalize( vec3( matrixNrml * vec4( in_normal, 0.0 ) ) );  
    vec3 L = normalize( lightSourcePos - P );  
    color = vec4( max( 0.0, dot( L, N ) ) );  
}
```

```
in vec4 color;  
out vec4 out_color;  
void main() {  
    out_color = color;  
}
```

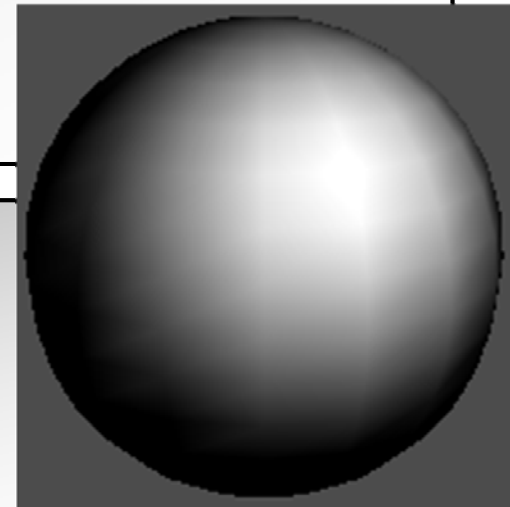


GLSL 3.x/4.x Diffuse Beleuchtung



```
uniform mat4 matrixMVP, matrixMV, matrixNrml;  
uniform vec3 lightSourcePos;      // Lichtquellenposition Kamerakoord.  
in vec4 in_position;             // Eingabe: Vertexposition  
in vec3 in_normal;              // Eingabe: Vertexnormale  
out vec4 color;  
void main() {  
    gl_Position = matrixMVP * in_position;  
    // Beleuchtungsberechnung in Kamerakoordinaten  
    vec3 P = vec3( matrixMV * in_position );  
    vec3 N = normalize( vec3( matrixNrml * vec4( in_normal, 0.0 ) ) );  
    vec3 L = normalize( lightSourcePos - P );  
    color = vec4( max( 0.0, dot( L, N ) ) );  
}
```

```
in vec4 color;  
out vec4 out_color;  
void main() {  
    out_color = color;  
}
```

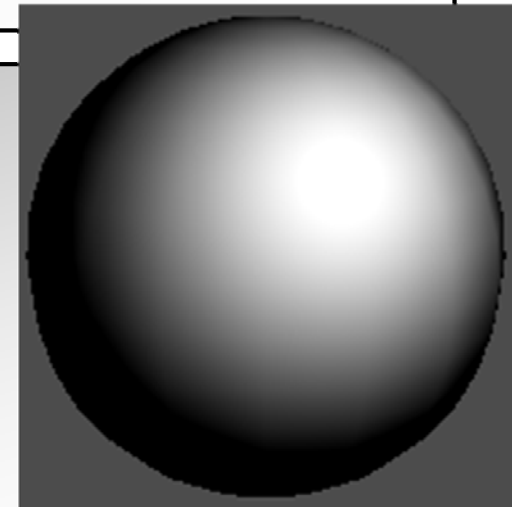


GLSL 3.x/4.x „Per-Pixel“ Beleuchtung



```
uniform mat4 matrixMVP, matrixMV, matrixNrml;  
uniform vec3 lightSourcePos;      // Lichtquellenposition Kamerakoord.  
in vec4 in_position;              // Eingabe: Vertexposition  
in vec3 in_normal;                // Eingabe: Vertexnormale  
out vec3 L, N;  
void main() {  
    gl_Position = matrixMVP * in_position;  
    vec3 P = vec3( matrixMV * in_position );  
    N = normalize( vec3( matrixNrml * vec4( in_normal, 0.0 ) ) );  
    L = normalize( lightSourcePos - P );  
}
```

```
in vec3 L, N;  
out vec4 out_color;  
void main() {  
    float kd = max( 0.0, dot( normalize(L),  
                             normalize(N) ) );  
    out_color = vec4( kd );  
}
```

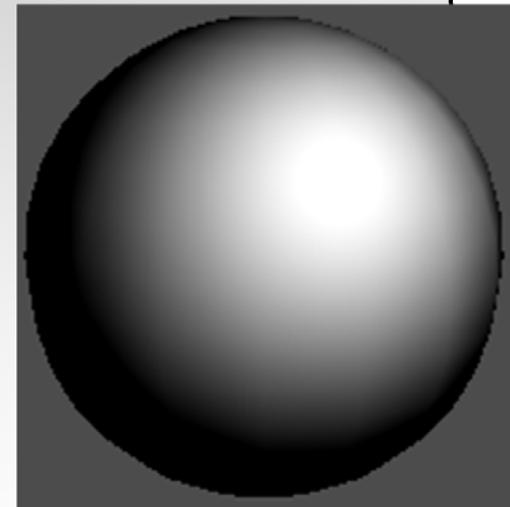


GLSL 3.x/4.x „Per-Pixel“ Beleuchtung (ineffizient)



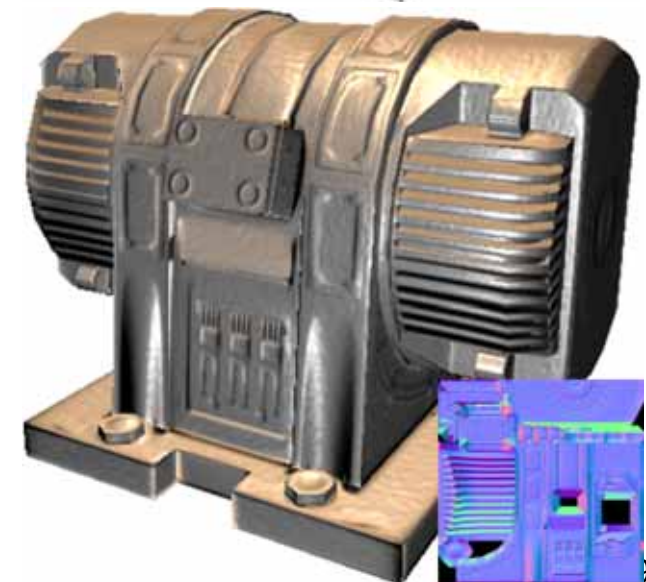
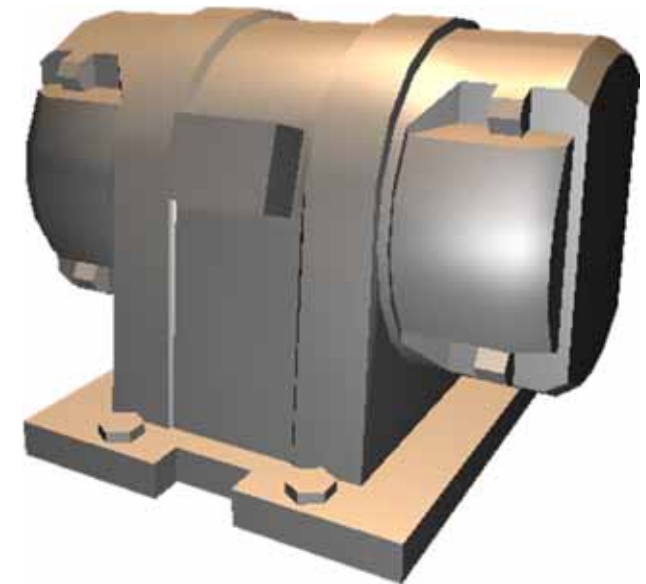
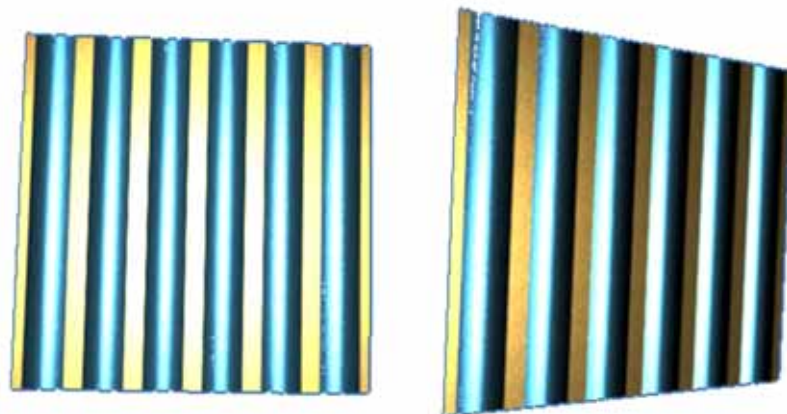
```
uniform mat4 matrixMVP;  
in vec4 in_position;           // Eingabe: Vertexposition  
in vec3 in_normal;           // Eingabe: Vertexnormale  
out vec4 pos, normal;  
void main() {  
    gl_Position = matrixMVP * in_position;  
    pos = in_position; normal = vec4( in_normal, 0.0 );  
}
```

```
uniform mat4 matrixMV, matrixNrml;  
uniform vec3 lightSourcePos;  // Lichtquellenposition Kamerakoord.  
in vec4 pos, normal;  
out vec4 out_color;  
void main() {  
    vec3 P = vec3( matrixMV * pos );  
    vec3 N = normalize( vec3( matrixNrml * normal ) );  
    vec3 L = normalize( lightSourcePos - P );  
    float kd = ...  
}
```



Per-Pixel vs Bump Mapping

- ▶ Per-Vertex Lighting (Gouraud Shading)
- ▶ Per-Pixel Lighting (Phong Shading)
 - ▶ glatte Oberflächen
 - ▶ keine Machschen Band-Artefakte
- ▶ Bump/Normal-Mapping
 - ▶ raues Oberflächendetail nur in der Beleuchtung
 - ▶ Normalenvariation aus einer Textur
 - ▶ keine Änderung der Geometrie, deshalb mögliche Artefakte an den Silhouetten

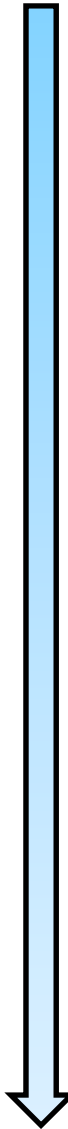


Bump/Normal Mapping



Per-Pixel vs Bump Mapping

- ▶ Per-Vertex Lighting (Gouraud Shading)
- ▶ Per-Pixel Lighting (Phong Shading)
 - ▶ glatte Oberflächen
 - ▶ keine Madschen Band-Artefakte
- ▶ Bump/Normal-Mapping
 - ▶ raues Oberflächendetail nur in der Beleuchtung
 - ▶ Normalenvariation aus einer Textur
 - ▶ keine Änderung der Geometrie, deshalb mögliche Artefakte an den Silhouetten
- ▶ Displacement-Mapping
 - ▶ geometrisches Oberflächendetail
- ▶ Netze, Polygone

A large, light blue arrow pointing downwards, spanning the height of the text on the right side of the slide.

mikroskopisches Detail
im Beleuchtungsmodell
(siehe Fotorealistische Bildsyn.)

Mesostrukturen: zu groß für
Reflektanzmodelle, zu klein
um effizient durch Polygone
repräsentiert zu werden

geometrisches Detail

Bump-Mapping: Idee, Problem?

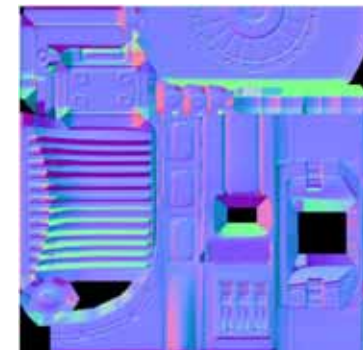
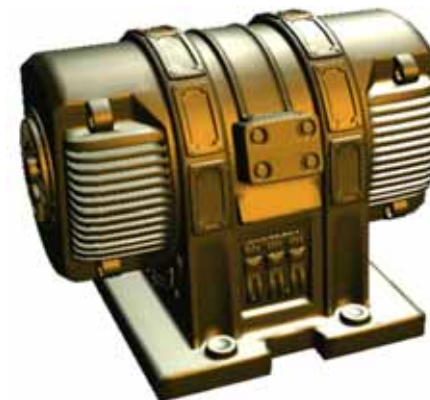
- ▶ Grundidee: verwende nicht geometrische Normale, sondern Normalenvektor aus einer Textur für die Beleuchtungsberechnung

```

in vec3 L;
in vec2 texCoord;
void main() {
    float kd = max( 0.0, dot( normalize(L), texture( sampler, texCoord ) ) );
    ... }

```

- ▶ Frage: in welchem KoSys soll die Berechnung stattfinden?
- ▶ eine Möglichkeit: in Objektkoordinaten
 - ▶ nur möglich in Verbindung mit einem Texturatlas (für jeden Punkt auf der Oberfläche eine spezifische Normale)



Bump-Mapping: Idee, Problem?

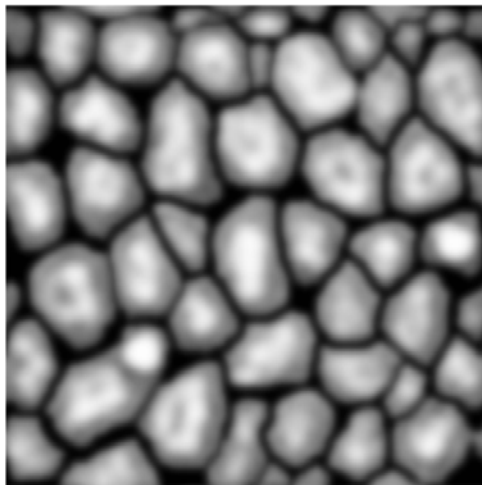
- ▶ Grundidee: verwende nicht geometrische Normale, sondern Normalenvektor aus einer Textur für die Beleuchtungsberechnung

```

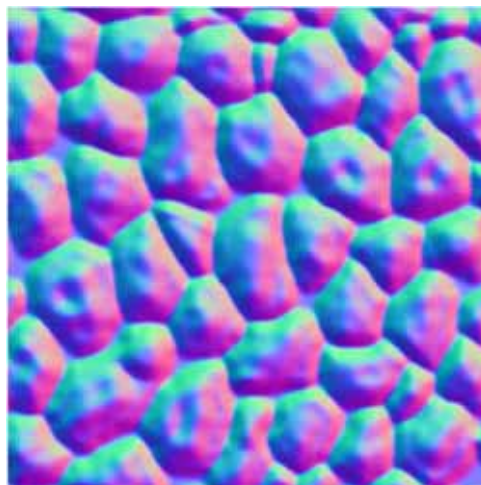
in vec3 L;
in vec2 texCoord;
void main() {
    float kd = max( 0.0, dot( normalize(L), texture( sampler, texCoord ) ) );
    ... }

```

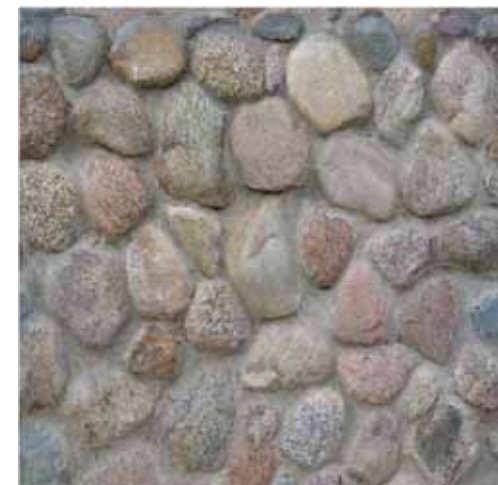
- ▶ ... funktioniert nicht mit der üblichen Erzeugung von Texturen:



Höhenkarte $B(s, t)$



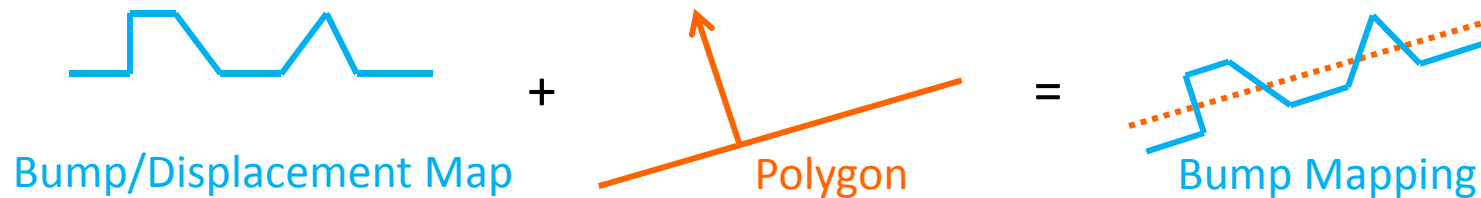
Normal Map



Farbtextur

Bump-Mapping: Prinzip

- ▶ Modulation des Normalenvektors berechnet aus der Veränderung einer Basisfläche durch eine **Bump Map** oder **Displacement Map** (diese möchte man unabhängig von der Geometrie und Atlas angeben)
- ▶ die Fläche bleibt also geometrisch flach und **nur die Normalen variieren** pro Pixel



Bump-Mapping: Theorie

- ▶ Fläche $P(s, t)$ (z.B. Dreieck oder Bézier-Patch) mit Normale $N(s, t) = \frac{\partial P}{\partial s} \times \frac{\partial P}{\partial t}$

- ▶ durch die Bump-Map $B(s, t)$ veränderte Fläche $P'(s, t) = P(s, t) + B(s, t) \cdot N(s, t)$

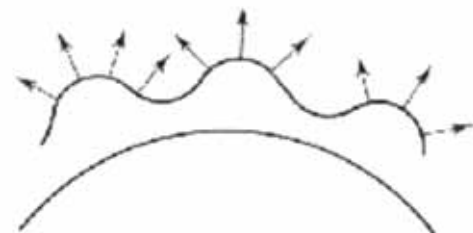
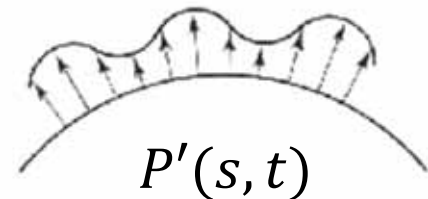
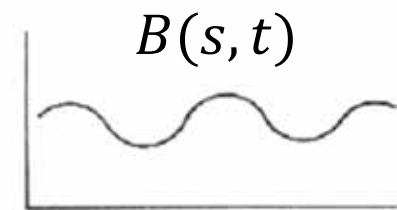
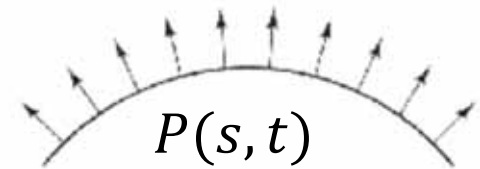
- ▶ wie ändert sich die Normale?

▶ $N := N(s, t), P := P(s, t), \dots$

$$N'(s, t) = \frac{\partial P'}{\partial s} \times \frac{\partial P'}{\partial t} = \dots =$$

$$N + \frac{\partial B}{\partial s} \left(N \times \frac{\partial P}{\partial t} \right) + \frac{\partial B}{\partial t} \left(N \times \frac{\partial P}{\partial s} \right) + \underbrace{\frac{\partial B}{\partial s} \frac{\partial B}{\partial t} (N \times N)}_{= 0}$$

- ▶ benötigt die **Ableitung der Bump-Map** und die **lokale Tangentialebene der Fläche**



Bump-Mapping: Beispiel

▶ $P(s, t) = s \cdot (1,0,0)^T + t \cdot (0,1,0)^T$

$$N(s, t) = \frac{\partial P}{\partial s} \times \frac{\partial P}{\partial t} = (1,0,0)^T \times (0,1,0)^T = (0,0,1)^T$$

▶ durch die Bump-Map $B(s, t)$ veränderte Fläche

$$P'(s, t) = (s, t, B(s, t))$$

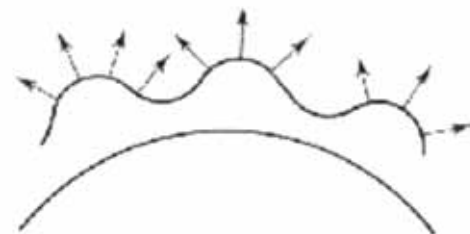
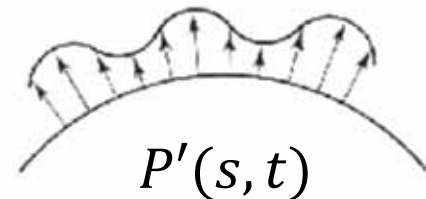
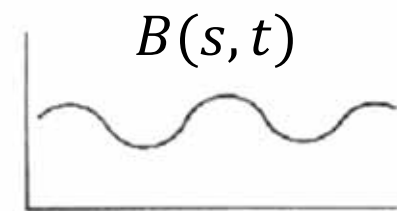
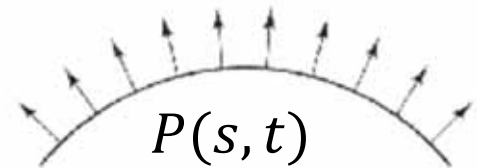
▶ wie ändert sich die Normale?

▶ $N := N(s, t), P := P(s, t), \dots$

$$N'(s, t) = \frac{\partial P'}{\partial s} \times \frac{\partial P'}{\partial t} = \dots =$$

$$N + \frac{\partial B}{\partial s} (1,0,0)^T + \frac{\partial B}{\partial t} (0,1,0)^T$$

▶ benötigt die **Ableitung der Bump-Map** und die **lokale Tangentialebene der Fläche**



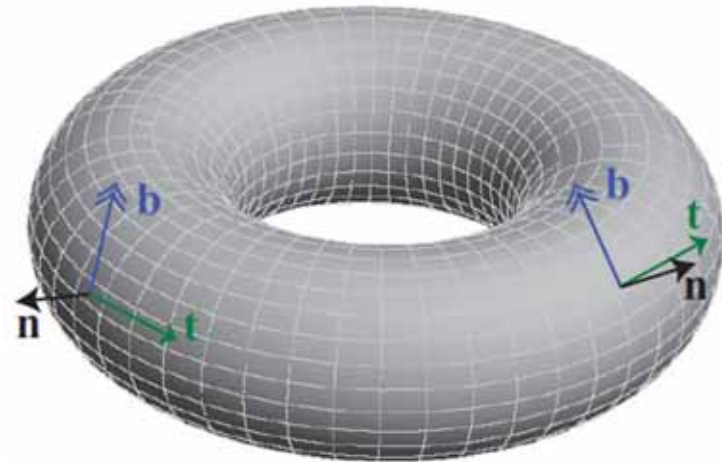
Bump-Mapping und Tangentenraum

- ▶ Fläche $P(s, t)$ (z.B. Dreieck oder Bézier-Patch) mit Normale $N(s, t) = \frac{\partial P}{\partial s} \times \frac{\partial P}{\partial t}$ und Bump-Map $B(s, t)$
- ▶ Tangentenvektor $T = \left(N \times \frac{\partial P}{\partial t} \right)$ und Bitangente $B = \left(N \times \frac{\partial P}{\partial s} \right)$ liegen tangential zur Oberfläche und spannen zusammen mit der Normale den **Tangentenraum** auf

- ▶ nehmen wir zunächst an: $B \perp T$
 - ▶ aufgrund der Eigenschaften des Kreuzprodukts ergibt sich dann:

$$T = \frac{\partial P}{\partial s} \text{ und } B = \frac{\partial P}{\partial t}$$

(haben wir am Beispiel auf der letzten Folie gesehen)



Bump-Mapping: Theorie

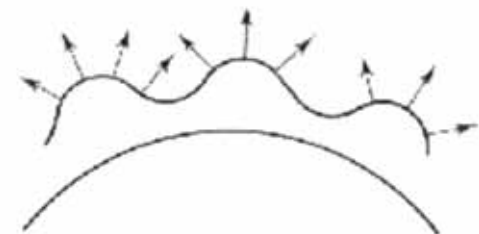
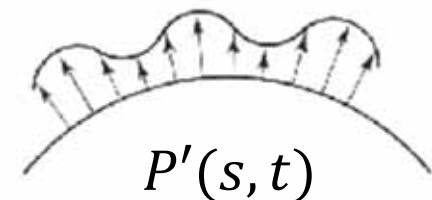
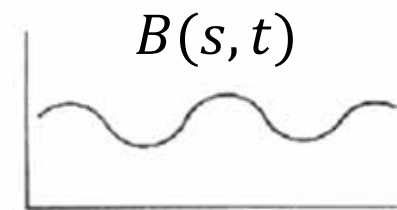
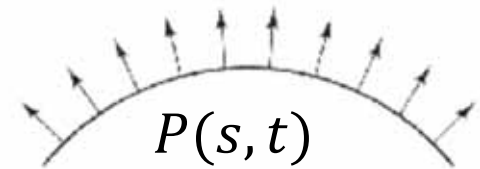
- ▶ wie ändert sich die Normale?

$$N'(s, t) = N + \frac{\partial B}{\partial s} \left(N \times \frac{\partial P}{\partial t} \right) + \frac{\partial B}{\partial t} \left(N \times \frac{\partial P}{\partial s} \right)$$

$$= T = \frac{\partial P}{\partial s} \qquad = B = \frac{\partial P}{\partial t}$$

- ▶ Ableitung der Bump-Map und lokale Tangentialebene der Fläche

- ▶ T ist ausgerichtet entlang des s -Parameters der Fläche *und* der Bump-Map (analog B entlang der t -Koordinate)
- ▶ bei Körpern wie Kugel, Torus, ... *könnten* Texturkoordinaten und Tangentenraum einfach zusammen bestimmt werden



Bump-Mapping und Tangentenraum

Beobachtungen, übliches Szenario

- ▶ bei (Dreiecks-)Netzen mit beliebigen Texturkoordinaten
 - ▶ Zugriff auf eine Bump-Map mit Texturkoordinaten s und t
 - ▶ Berechnung der modifizierten Normale durch $\frac{\partial B}{\partial s}$ und $\frac{\partial B}{\partial t}$ erfordert einen Tangentenraum der nach s und t ausgerichtet ist!
 - ▶ Tangentenraum muss also aus den TexKoord berechnet werden!

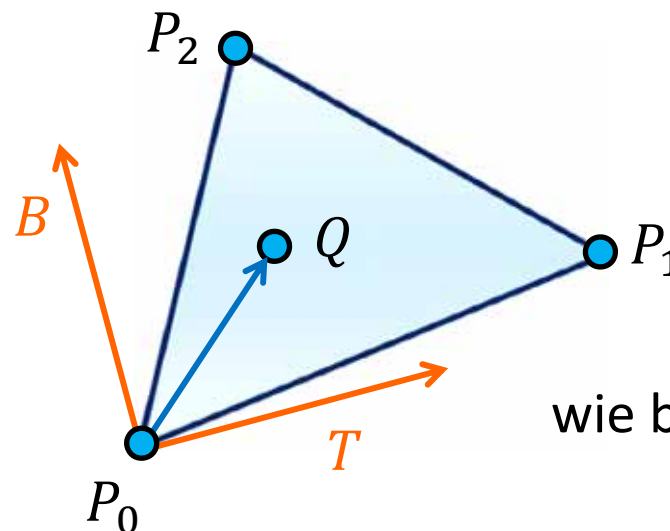
Tangentenraum (Tangent Space)

Tangentenraum für Dreiecksnetze mit Texturkoordinaten

- ▶ geg. Dreieck mit Eckpunkten P_i und Texturkoordinaten (s_i, t_i) , $i = 0..2$
- ▶ wir möchten den Tangentenraum also so ausrichten, dass T (bzw. B) entlang der Ableitung der Texturkoordinate zeigt
- ▶ dazu stellen wir einen Punkt Q auf dem Dreieck (bzw. in seiner Ebene) durch die (Textur-)Koordinaten (s, t) dar:

$$Q - P_0 = (s - s_0)T + (t - t_0)B$$

$$P(s, t) = P_0 + (s - s_0)T + (t - t_0)B$$



wie bestimmt man T und B ?

Tangentenraum (Tangent Space)

- ▶ platzieren wir Q bei P_1 und P_2 , dann erhalten wir
 - ▶ $Q_1 = P_1 - P_0 = \Delta s_1 T + \Delta t_1 B$ mit $\Delta s_1 = s_1 - s_0$, $\Delta t_1 = t_1 - t_0$
 - ▶ $Q_2 = P_2 - P_0 = \Delta s_2 T + \Delta t_2 B$ mit $\Delta s_2 = s_2 - s_0$, $\Delta t_2 = t_2 - t_0$

- ▶ daraus erhalten wir ein Gleichungssystem:

$$\begin{bmatrix} Q_{1,x} & Q_{1,y} & Q_{1,z} \\ Q_{2,x} & Q_{2,y} & Q_{2,z} \end{bmatrix} = \begin{bmatrix} \Delta s_1 & \Delta t_1 \\ \Delta s_2 & \Delta t_2 \end{bmatrix} \begin{bmatrix} T_x & T_y & T_z \\ B_x & B_y & B_z \end{bmatrix}$$

- ▶ unbekannt sind T und B , gegeben sind:
 - ▶ Vertizes des Dreiecks und somit Q_1, Q_2 und
 - ▶ Texturkoordinaten der Vertizes, also $\Delta s_i, \Delta t_i$

- ▶ lösen durch Matrixinversion $\begin{bmatrix} a & b \\ c & d \end{bmatrix}^{-1} = \frac{1}{ad-bc} \begin{bmatrix} d & -b \\ -c & a \end{bmatrix}$

- ▶ damit ist die Berechnung von Vektoren T und B – die die Tangentialebene aufspannen – für **ein** Dreieck möglich
- ▶ Achtung: diese sind i.A. aber **nicht normalisiert und nicht orthogonal**

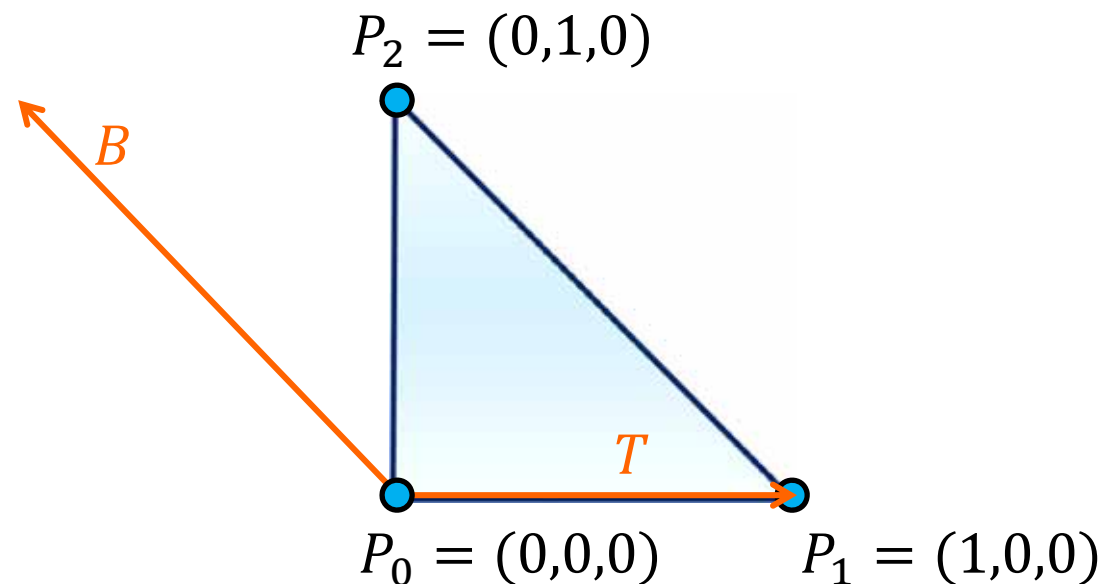
Tangentenraum (Tangent Space)

Beispiel

▶ Texturkoordinaten $(s_0, t_0) = (0,0)$, $(s_1, t_1) = (1,0)$, $(s_2, t_2) = (1,1)$

▶ $\begin{bmatrix} 1 & 0 & 0 \\ 0 & 1 & 0 \end{bmatrix} = \begin{bmatrix} 1 & 0 \\ 1 & 1 \end{bmatrix} \begin{bmatrix} T_x & T_y & T_z \\ B_x & B_y & B_z \end{bmatrix}$ mit $\begin{bmatrix} 1 & 0 \\ 1 & 1 \end{bmatrix}^{-1} = \begin{bmatrix} 1 & 0 \\ -1 & 1 \end{bmatrix}$

▶ $\begin{bmatrix} T_x & T_y & T_z \\ B_x & B_y & B_z \end{bmatrix} = \begin{bmatrix} 1 & 0 \\ -1 & 1 \end{bmatrix} \begin{bmatrix} 1 & 0 & 0 \\ 0 & 1 & 0 \end{bmatrix} = \begin{bmatrix} 1 & 0 & 0 \\ -1 & 1 & 0 \end{bmatrix}$



Tangentenraum (Tangent Space)

- ▶ die resultierenden Vektoren sind nicht orthonormal (aber $T, B \perp N$)
 - ▶ Gram-Schmidtsche Orthonormalisierung: erzeugt zu jedem System lin. unabh. Vektoren ein Orthonormalsys. (hier gezeigt: allg. Vorgehen)
 - ▶ $N' = \frac{N}{\|N\|}$
 - ▶ $T' = T - (N' \cdot T)N'$ anschließend: normalisiere T'
 - ▶ $B' = B - (N' \cdot B)N' - (T' \cdot B)T'$ dann: normalisiere B'
- ▶ *TBN*-Matrix: Transformation von Tangentenraum in Objektraum

$$M = \begin{bmatrix} T'_x & B'_x & N'_x \\ T'_y & B'_y & N'_y \\ T'_z & B'_z & N'_z \end{bmatrix} \quad M^{-1} = M^T$$

(nur nach Orthonormalisierung!)

- ▶ um einen **Tangentenraum pro Vertex** zu berechnen gehen wir wie bei der Berechnung von Vertex-Normalen vor:
 - ▶ bestimme alle Dreiecke, die den Vertex als Eckpunkt haben
 - ▶ bilde den Mittelwert aller Dreiecks-Tangentenräume

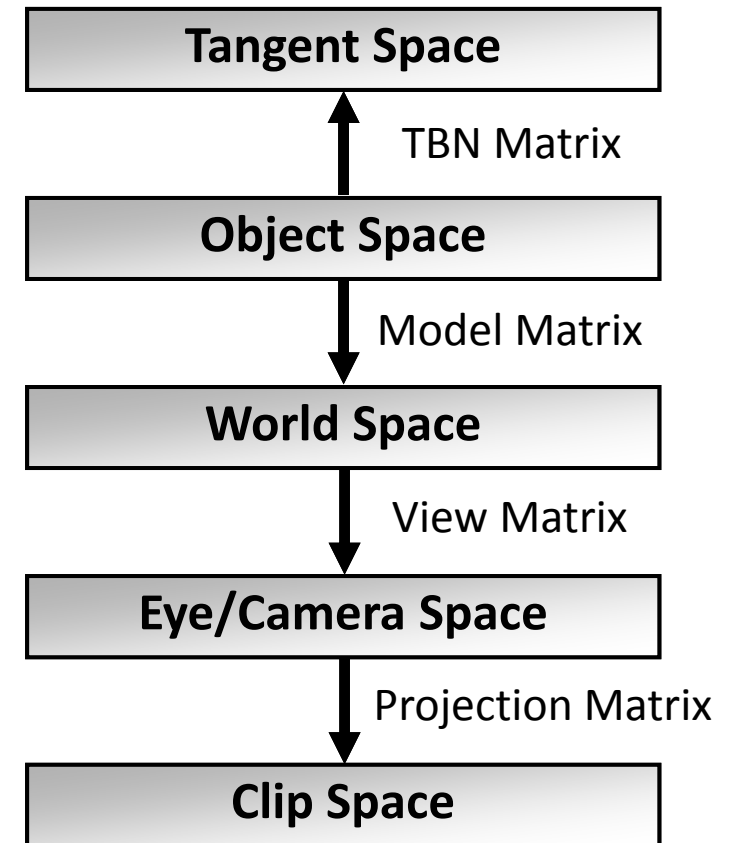
Beleuchtungsberechnung im Tangentenraum



- ▶ veränderte Normale: $N' = N + \frac{\partial B}{\partial s} \cdot T + \frac{\partial B}{\partial t} \cdot B$
- ▶ **im Tangentenraum** T, B, N ist die Normale der ursprünglichen Fläche $(0,0,1)^T$, die veränderte Normale entsprechend $N'_{TS} = \left(\frac{\partial B}{\partial s}, \frac{\partial B}{\partial t}, 1 \right)^T$
- ▶ in der Praxis: zur Beleuchtungsberechnung transformieren wir die Richtung zur Lichtquelle in den Tangentenraum
 - ▶ Eingabe:
 - ▶ Position der Lichtquelle (in Objekt-/Weltkoordinaten) L_w
 - ▶ Position des Oberflächenpunktes in Objekt-/Weltkoordinaten V_w
 - ▶ Tangentenraum T, B, N (orthonormalisiert)
 - ▶ Transformation:
 - ▶ Vektor zur Lichtquelle $L = (L_w - V_w) / |L_w - V_w|$
 - ▶ Richtung im Tangentenraum $L_{TS} = (L \cdot T, L \cdot B, L \cdot N)^T$

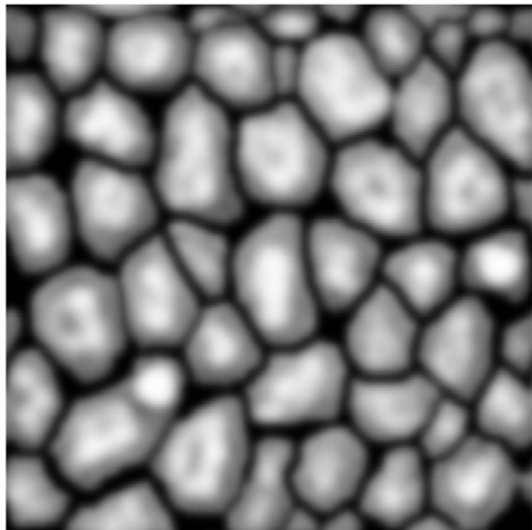
Koordinatensysteme

- ▶ die Beleuchtungsberechnung kann in jedem beliebigen Koordinatensystem durchgeführt werden
- ▶ unterschiedliche KoSys eignen sich für bestimmte Zwecke besser oder schlechter
 - ▶ Objekt-Koordinaten:
nativer Raum der Vertex-Normalen
 - ▶ Weltkoordinaten:
nativer Raum der Lichtquellen/EnvMaps
 - ▶ Aug-/Kamerakoordinaten:
nativer Raum des View Vectors
 - ▶ Tangent Space/Tangenten Raum:
für Bump/Normal Mapping

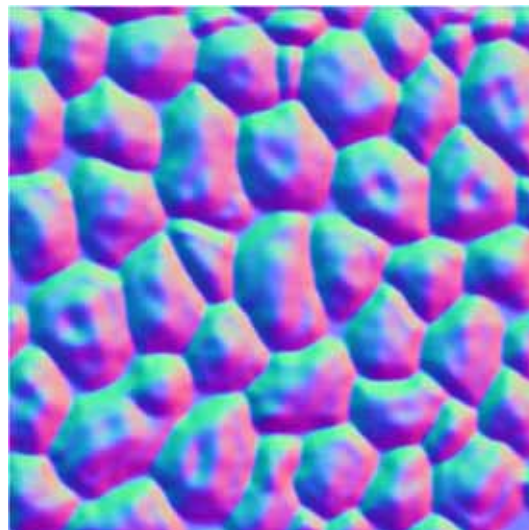


Maps – was?

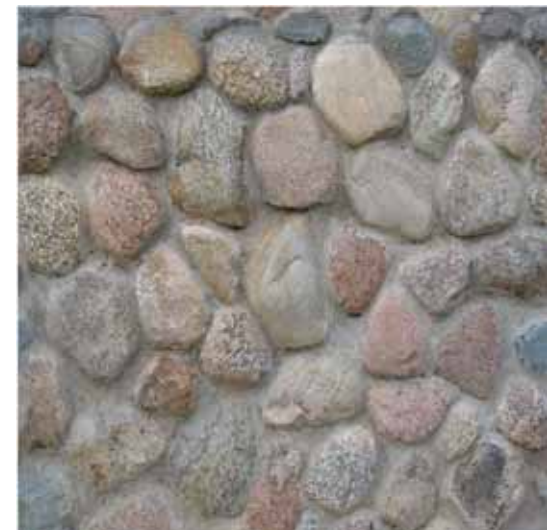
- ▶ Begriffe / begriffliche Überschneidungen
 - ▶ **Bump Map**: Normale wird vor der Beleuchtung verändert, dazu wird eine Graustufen-Bitmap bzw. entsprechende Gradienten gespeichert
 - ▶ **Normal Map**: Ersetzt die Normale für die Beleuchtungsberechnung, d.h. man speichert $N'_{TS} = \left(\frac{\partial B}{\partial s}, \frac{\partial B}{\partial t}, 1 \right)^T$ (normalisiert)
 - ▶ im Prinzip kann man auch Normalen in Objekt- oder Weltkoordinaten speichern, verhindert aber Wiederverwendbarkeit
 - ▶ **Displacement Mapping**: verändert die Oberfläche auch geometrisch



Höhenkarte $B(s, t)$



Normal Map



Farbtextur

Normal-Maps und Bump-Maps



Farbe



Höhenkarte



Normal Map



Normale - x



Normale - y



Normale - z

Normal Maps - Texturformate

- ▶ Normal Maps als RGB-Textur gespeichert, indem $N_{TS} = (n_x, n_y, n_z)^T$ mit $n_x, n_y, n_z \in [-1; 1]$ abgebildet wird auf
 - ▶ Farbwerte $R, G, B \in [0; 1]$
 - ▶ $R = \frac{n_x}{2} + \frac{1}{2}, G = \frac{n_y}{2} + \frac{1}{2}, B = \dots$
 - ▶ „Auspacken“ vor der Verwendung im Shader mit $n_x = 2R - 1, \dots$
 - ▶ oft genügt eine Genauigkeit von 8 Bit pro Komponente (schwierig v.a. bei glatten glänzenden Oberflächen)
 - ▶ spezielle Texturformate die für Normal Maps geeignet sind, z.B.
 - ▶ „A2R10G10B10“: 3×10 Bit
 - ▶ „R16G16“: n_x, n_y Komponenten mit 16 Bit speichern, $n_z > 0$ wird berechnet mit $n_z = (1 - n_x^2 - n_y^2)^{1/2}$
- ▶ Randnotiz: „On Floating-Point Normal Vectors“, Meyer et al.
 - ▶ theoretisch: Diskretisierung in $2^{50.2}$ uniform verteilte Richtungen ebenso „genau“ wie SP-Floating Point Darstellung (Praxis: 52 Bit)

GLSL Normal Mapping

- ▶ für das folgende Beispiel brauchen wir einen Tangentenraum
- ▶ Hilfsfunktion zur Berechnung eines Tangentenraums
 - ▶ das ist ein **Hack**: verwenden Sie ansonsten immer den korrekten Tangentenraum!

```
void computeTangentSpace( in vec3 N, out mat3 TS ) {  
    vec3 NeverCoLinear = vec3( N.y, N.z, -N.x );  
    vec3 T = normalize( cross( NeverCoLinear, N ) );  
    vec3 B = cross( N, T );  
    TS = mat3( T, B, N );  
}
```

- ▶ ... aber gut möglich, dass Sie irgendwann mal irgendein KoSys aufspannen müssen...

GLSL Normal Mapping – Vertex Shader



```
uniform mat4    matObject2World;
uniform mat3    matObjectNrml2World;
uniform vec3    vLightPosWS, vCameraPosWS;
in vec4         in_position;
in vec3         in_normal;
out vec3        vLightTS, vViewTS;

void main() {
    ...
    vNormal = ( matObjectNrml2World * vec4( in_normal, 0.0 ) ).xyz;
    vPosition = ( matObject2World * in_position ).xyz;
    mat3 TBN;
    // Achtung: wir berechnen TBN in Abh. von der Normale in Weltkoord.
    computeTangentSpace( vNormal, TBN ); /* HACK */
    // von Weltkoordinaten in den Tangentenraum:
    vLightTS = normalize( vLightPosWS - vPosition ) * TBN;
    vViewTS = normalize( vCameraPosWS - vPosition ) * TBN;
    ...
}
```

GLSL Normal Mapping – Fragment Shader



```
in vec3          vLightTS, vViewTS;          // siehe letzte Folie
in vec2          texCoord;                   // (nicht gezeigt)
uniform sampler2D tDiffuse, tBumpmap;        // Sampler
uniform vec4     lightIntensity;            // LQ Attribute
out vec4         out_color;

void main() { ...
    texColor = texture2D( tDiffuse, texCoord );
    normalTS = texture2D( tBumpmap, texCoord ) * 2.0 - vec4(1.0);

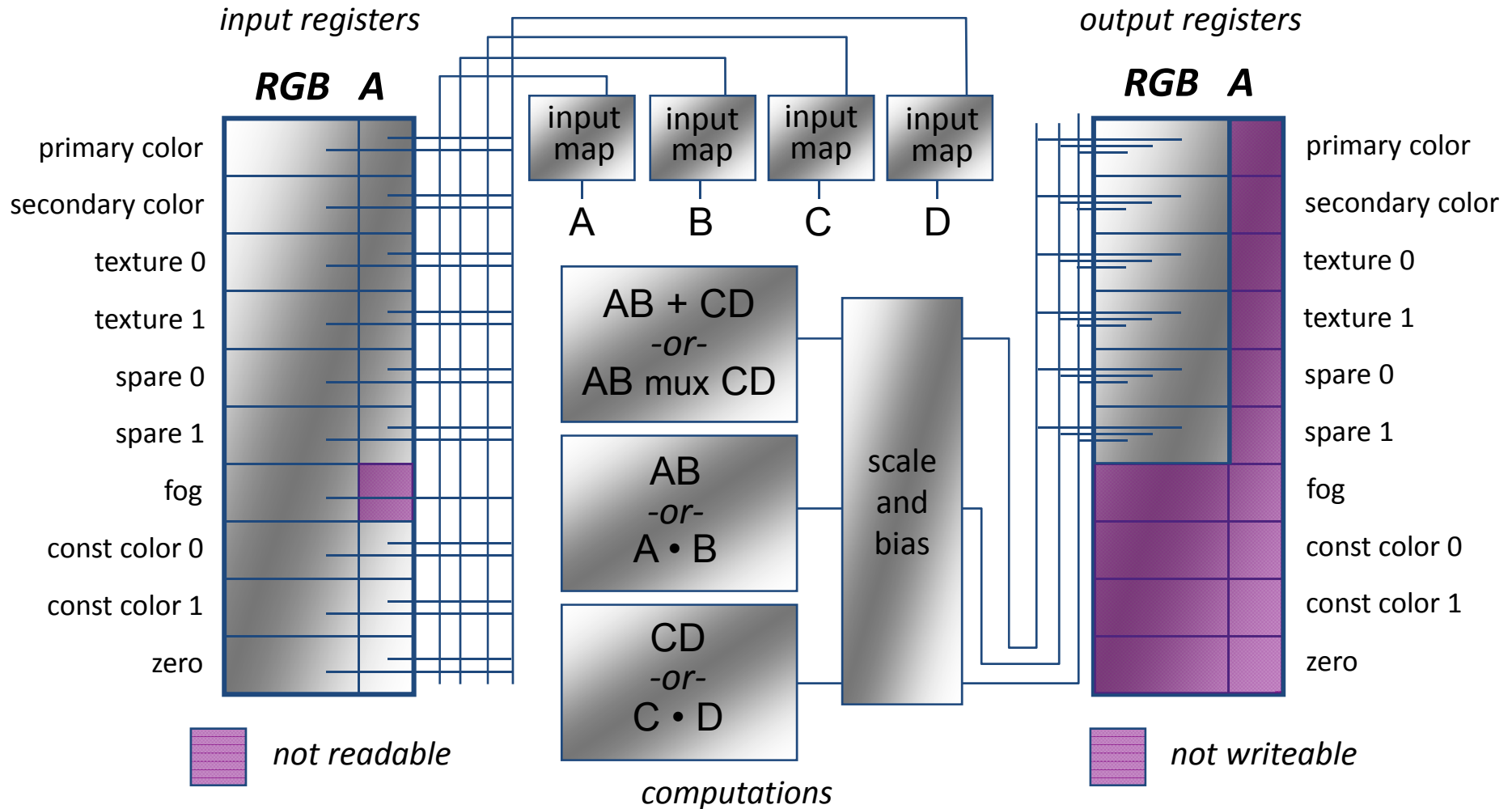
    // Blinn-Phong Modell
    float diffuse = max( 0.0, dot( normalTS, vLightTS ) );
    vec3 vHalfwayTS = normalize( vLightTS + vViewTS );
    float specular = pow( max( 0.0, dot( vHalfwayTS, normalTS ) ), 24.0 );

    // Berechnung/Multitexturing nach belieben
    vec4 color = vec4( diffuse ) * texColor;
    color += vec4( specular ) * glossValue;
    out_color = color * lightIntensity;
}
```

NVidia Register Combiner



▶ nur zum Spaß!



Bump Mapping mit Register Combiner



```
// GENERAL Combiner #0, RGB
// Argb = 3x3 matrix column1 = expand(texture0rgb) = N'
glCombinerInputNV(
    GL_COMBINER0_NV, GL_RGB, GL_VARIABLE_A_NV,
    GL_TEXTURE0_ARB, GL_EXPAND_NORMAL_NV, GL_RGB );
// Brgb = expand(texture1rgb) = L (oder H, falls specular)
glCombinerInputNV(
    GL_COMBINER0_NV, GL_RGB, GL_VARIABLE_B_NV,
    GL_TEXTURE1_ARB, GL_EXPAND_NORMAL_NV, GL_RGB );

// spare0rgb = Argb * Brgb = expand( texture0rgb ) * expand( texture1rgb ) = L * N'
// im specular fall: spare0rgb = H dot N'
glCombinerOutputNV(
    GL_COMBINER0_NV, GL_RGB,
    GL_SPARE0_NV, GL_DISCARD_NV, GL_DISCARD_NV,
    GL_NONE, GL_NONE, GL_TRUE, GL_FALSE, GL_FALSE );

if ( shadowing == 1 ) {
// GENERAL Combiner #1, RGB
// Argb = 0
glCombinerInputNV(
    GL_COMBINER1_NV, GL_RGB, GL_VARIABLE_A_NV,
    GL_ZERO, GL_UNSIGNED_IDENTITY_NV, GL_RGB );
// Brgb = 0
glCombinerInputNV(
    GL_COMBINER1_NV, GL_RGB, GL_VARIABLE_B_NV,
    GL_ZERO, GL_UNSIGNED_IDENTITY_NV, GL_RGB );

if ( specular )
// Crgb = spare0rgb = H * N'
glCombinerInputNV(
    GL_COMBINER1_NV, GL_RGB, GL_VARIABLE_C_NV,
    GL_SPARE0_NV, GL_UNSIGNED_IDENTITY_NV, GL_RGB ); else
// Crgb = 1
glCombinerInputNV(
    GL_COMBINER1_NV, GL_RGB, GL_VARIABLE_C_NV,
    GL_ZERO, GL_UNSIGNED_INVERT_NV, GL_RGB );

// Drgb = spare0rgb = L * N' (oder H * N', falls specular)
glCombinerInputNV(
    GL_COMBINER1_NV, GL_RGB, GL_VARIABLE_D_NV,
    GL_SPARE0_NV, GL_SIGNED_IDENTITY_NV, GL_RGB );

// spare0rgb = ((spare0a >= 0.5) ? spare0rgb^2 : 0) = ((L * N > 0) ? (L * N')^2 : 0)
glCombinerOutputNV(
    GL_COMBINER1_NV, GL_RGB,
    GL_DISCARD_NV, GL_DISCARD_NV, GL_SPARE0_NV,
    GL_NONE, GL_NONE, GL_FALSE, GL_FALSE, GL_TRUE ); }
```

```
// FINAL Combiner
// A = EF
glFinalCombinerInputNV(
    GL_VARIABLE_A_NV,
    GL_E_TIMES_F_NV, GL_UNSIGNED_IDENTITY_NV, GL_RGB );
// B = EF
glFinalCombinerInputNV(
    GL_VARIABLE_B_NV,
    GL_E_TIMES_F_NV, GL_UNSIGNED_IDENTITY_NV, GL_RGB );
// C = 0
glFinalCombinerInputNV(
    GL_VARIABLE_C_NV,
    GL_ZERO, GL_UNSIGNED_IDENTITY_NV, GL_RGB );

if ( specular )
// D = zero = keine extra specular beleuchtung
glFinalCombinerInputNV(GL_VARIABLE_D_NV,
    GL_ZERO, GL_UNSIGNED_IDENTITY_NV, GL_RGB ); else
// D = C0 = ambiente beleuchtung
glFinalCombinerInputNV(
    GL_VARIABLE_D_NV,
    GL_CONSTANT_COLOR0_NV, GL_UNSIGNED_IDENTITY_NV, GL_RGB );

if ( specular )
// E = spare0rgb = diffuse beleuchtung = H * N'
glFinalCombinerInputNV(
    GL_VARIABLE_E_NV,
    GL_SPARE0_NV, GL_UNSIGNED_IDENTITY_NV, GL_RGB ); else
// E = 1
glFinalCombinerInputNV(
    GL_VARIABLE_E_NV,
    GL_ZERO, GL_UNSIGNED_INVERT_NV, GL_RGB );

// F = spare0rgb = diffuse beleuchtung = L * N' (oder H * N' bei specular)
glFinalCombinerInputNV(
    GL_VARIABLE_F_NV,
    GL_SPARE0_NV, GL_UNSIGNED_IDENTITY_NV, GL_RGB );

// diffuse RGB color = A * E * F + D = diffuse modulated mit self-shadowing term +
ambient
// specular RGB color = A * E * F = specular modulated mit self-shadowing term

// G = spare0a = beitrag der diffusen beleuchtung = L * N'
glFinalCombinerInputNV(
    GL_VARIABLE_G_NV,
    GL_SPARE0_NV, GL_UNSIGNED_IDENTITY_NV, GL_ALPHA );

glEnable( GL_REGISTER_COMBINERS_NV );
```

Bump Mapping mit ARB Vertex/Fragment Program

```

!!ARBvp1.0

OPTION ARB_position_invariant;

# light position in object space
PARAM lightPosition = program.env[1];
# camera position in object space
PARAM cameraPosition = program.env[2];

# INPUTS
# TEX0      Texture Coordinates
# TEX1      Binormale
# TEX2      Tangente
# NRML      Normale
# POS       Position

ATTRIB      binormal = vertex.texcoord[ 1 ];
ATTRIB      tangent = vertex.texcoord[ 2 ];
ATTRIB      normal   = vertex.normal;

# OUTPUTS
# TEX0      texture coordinate
# TEX1      light position in tangent space
# TEX2      camera position in tangent space
# TEX3      world space coordinates

OUTPUT tangentLight = result.texcoord[1];
OUTPUT tangentView  = result.texcoord[2];

TEMP  toLight, toViewer;

MOV result.texcoord[0], vertex.texcoord[0];

MOV result.texcoord[3], vertex.position;

ADD toLight, lightPosition, -vertex.position;
ADD toViewer, cameraPosition, -vertex.position;

DP3 tangentLight.x, binormal, toLight;
DP3 tangentLight.y, tangent, toLight;
DP3 tangentLight.z, normal, toLight;

DP3 tangentView.x, binormal, toViewer;
DP3 tangentView.y, tangent, toViewer;
DP3 tangentView.z, normal, toViewer;

END

!!ARBfp1.0

OUTPUT color = result.color;

# CONSTANTS
TEMP surfaceColor, bumpNormal, glossFactor, ...;

# CONSTANTS
PARAM constantOne = { 1.0, 1.0, 1.0, 1.0 };
PARAM constantDouble = { 2.0, 2.0, 2.0, 2.0 };
PARAM constantAttenuation = { 1.0, 0.0, 0.1, 0.0 };

# INPUTS
PARAM lightColorAmbient = program.env[ 0 ]; ...

ATTRIB lightVectorIn = fragment.texcoord[ 1 ];
ATTRIB viewVectorIn = fragment.texcoord[ 2 ];
ATTRIB worldSpaceCoord = fragment.texcoord[ 3 ];

# get surface color, normal and gloss factor
TEX surfaceColor, fragment.texcoord[0], texture[0], 2D;
TEX bumpNormal, fragment.texcoord[0], texture[1], 2D;
TEX glossFactor, fragment.texcoord[0], texture[2], 2D;

# scale & bias bumpnormal: [0,1] -> [-1,1]
MAD bumpNormal, bumpNormal, constantDouble, -constantOne;

# normalization of the bumped normal
DP3 temp, bumpNormal, bumpNormal;
RSQ invLen, temp.x;
MUL bumpNormal, bumpNormal, invLen;

# normalize view vector
DP3 temp, viewVectorIn, viewVectorIn;
RSQ invLen, temp.x;
MUL viewVector, viewVectorIn, invLen;

# normalize light vector
DP3 distanceToLight, lightVectorIn, lightVectorIn;
RSQ invLen, distanceToLight.x;
MUL lightVector, lightVectorIn, invLen;

# calculate the reflection vector
DP3 temp, bumpNormal, lightVector;
MUL temp, temp, bumpNormal;
MAD reflectionVector, temp, constantDouble, -lightVector;

# attenuation
MAD attenuation, distanceToLight.z, constantAttenuation.z, constantAttenuation.x;
RCP attenuation, attenuation.x;

# N dot L, R dot V, (R dot V)^n, glossFactor*...
DP3_SAT diffuseLight, bumpNormal, lightVector;
DP3_SAT specularLight, reflectionVector, viewVector;
POW specularLight, specularLight.x, lightSpecExponent.x;
MUL specularLight, glossFactor, specularLight;

# light source colors
MUL diffuseLight, diffuseLight, lightColorDiffuse;
MUL specularLight, specularLight, lightColorSpecular;

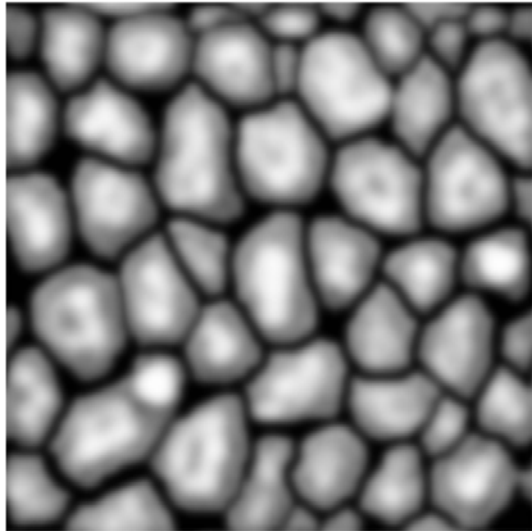
MAD temp, diffuseLight, attenuation, lightColorAmbient;
MUL temp2, specularLight, attenuation;
MAD color, surfaceColor, temp, temp2;

END

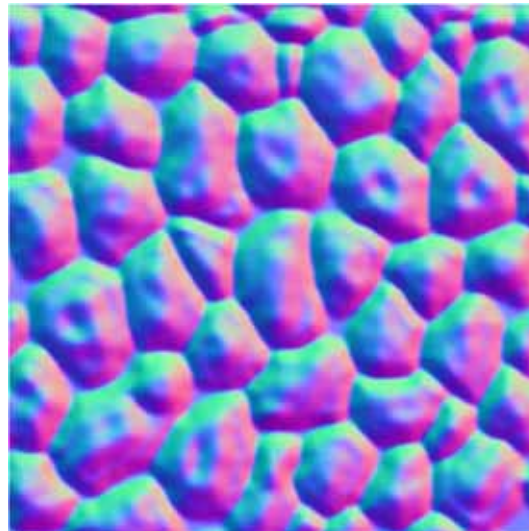
```

Normal Maps Erzeugen

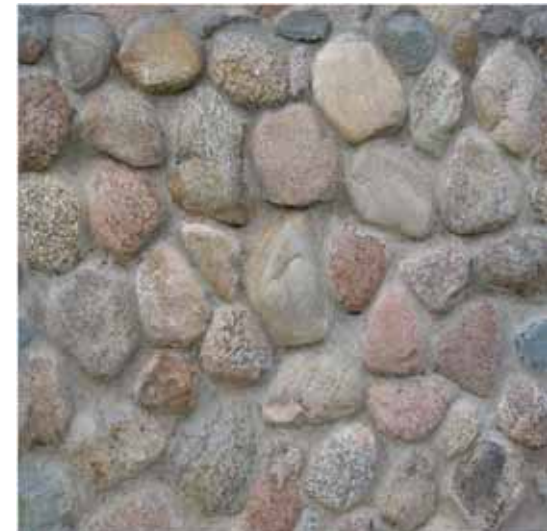
- ▶ aus Farb-/Höhenbildern (manuell, prozedural, ...)



Höhenkarte $B(u, v)$



Normal Map



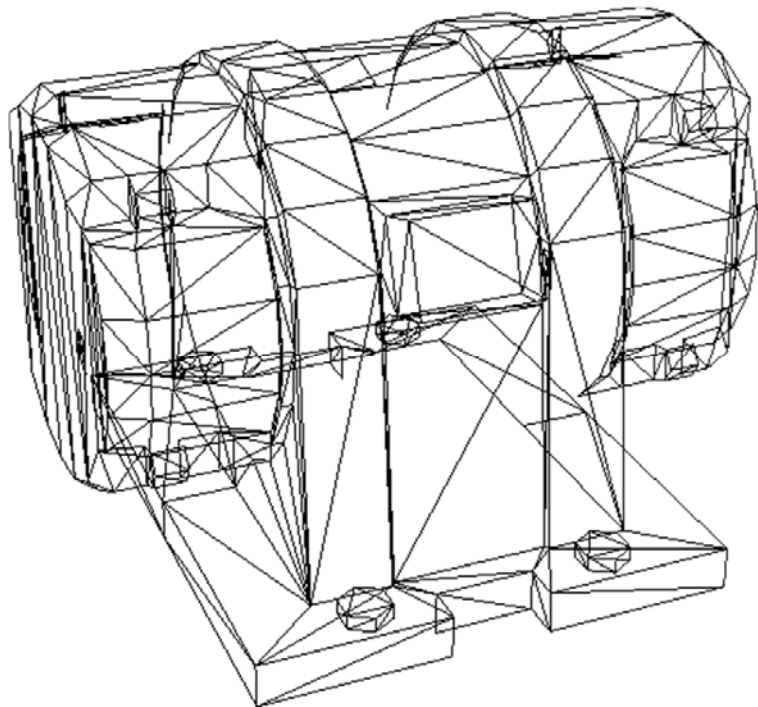
Farbtextur

- ▶ aus feiner Geometrie...

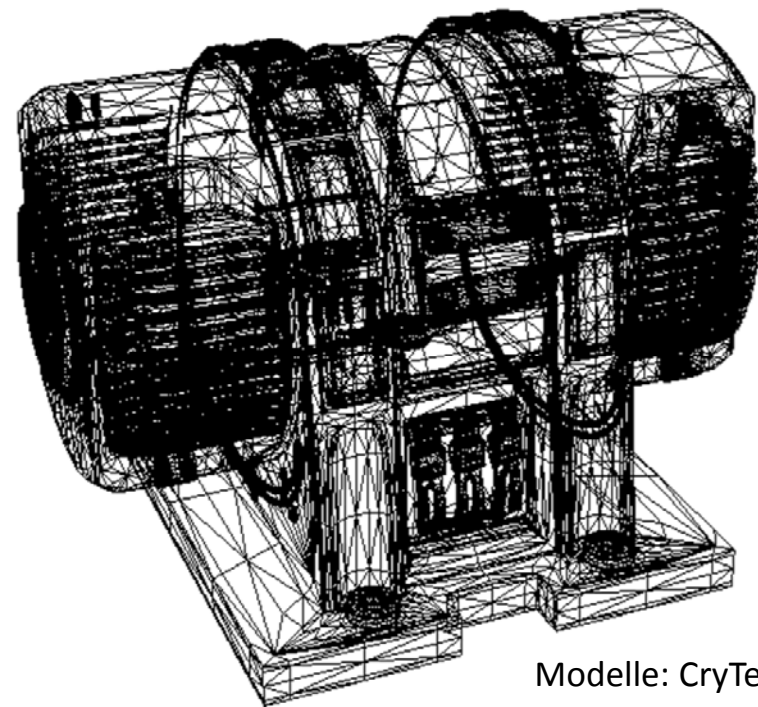
Normal Maps Erzeugen



- ▶ Idee: fehlendes Detail im groben Netz wird in Form von Normalen in einer Textur gespeichert



848 Dreiecke



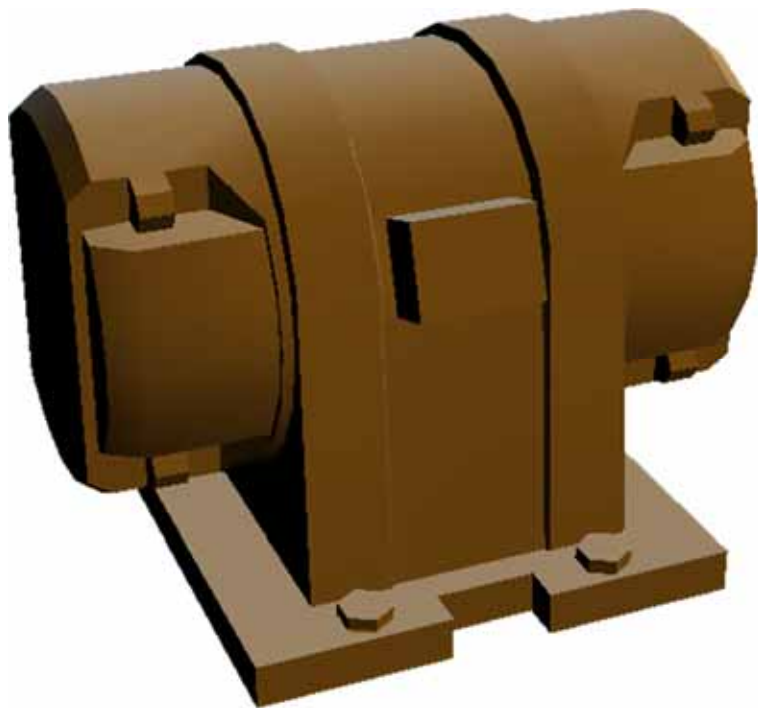
Modelle: CryTek

~115.000 Dreiecke

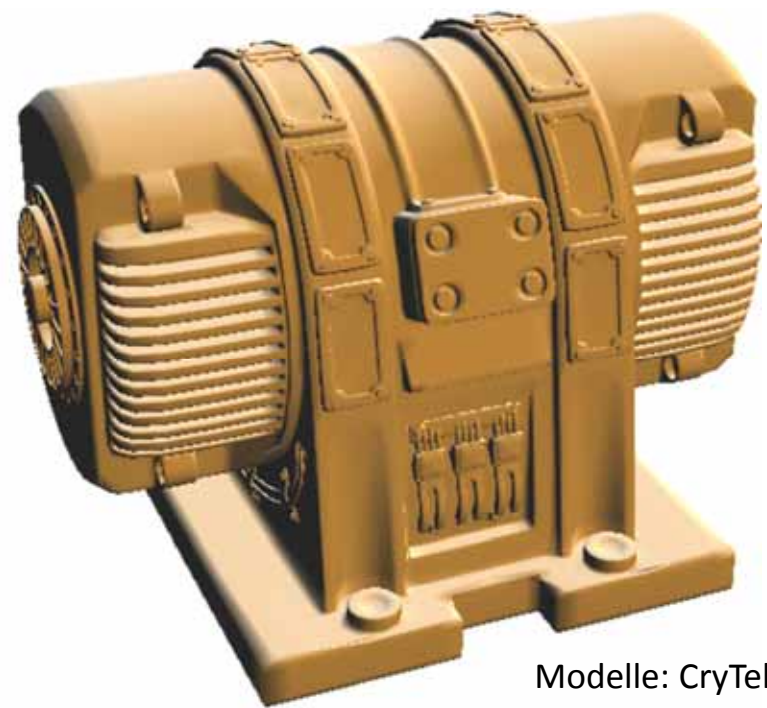
Normal Maps Erzeugen



- ▶ Idee: fehlendes Detail im groben Netz wird in Form von Normalen in einer Textur gespeichert



848 Dreiecke

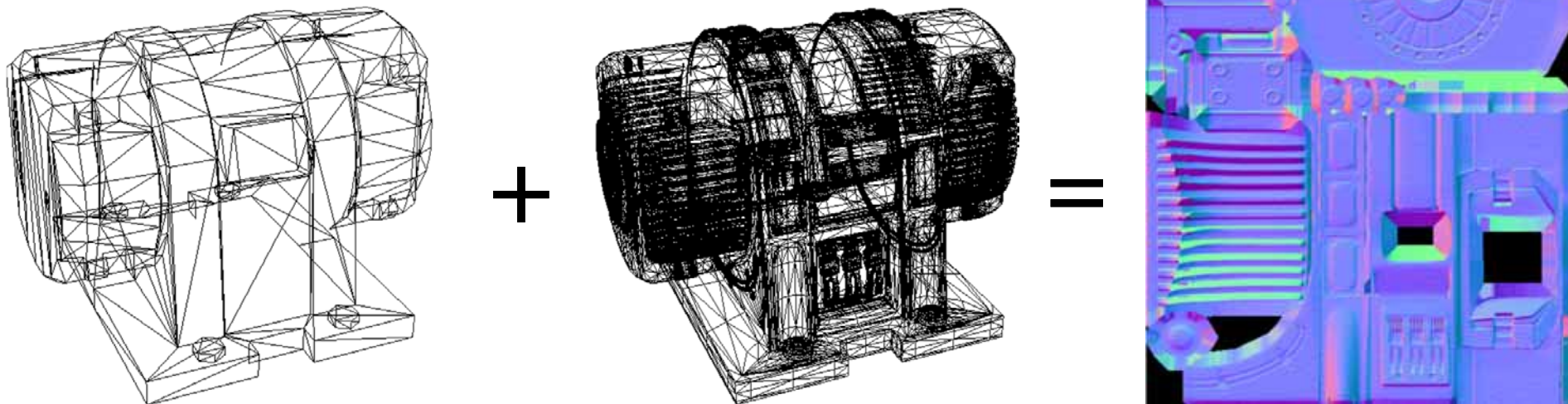


Modelle: CryTek

~115.000 Dreiecke

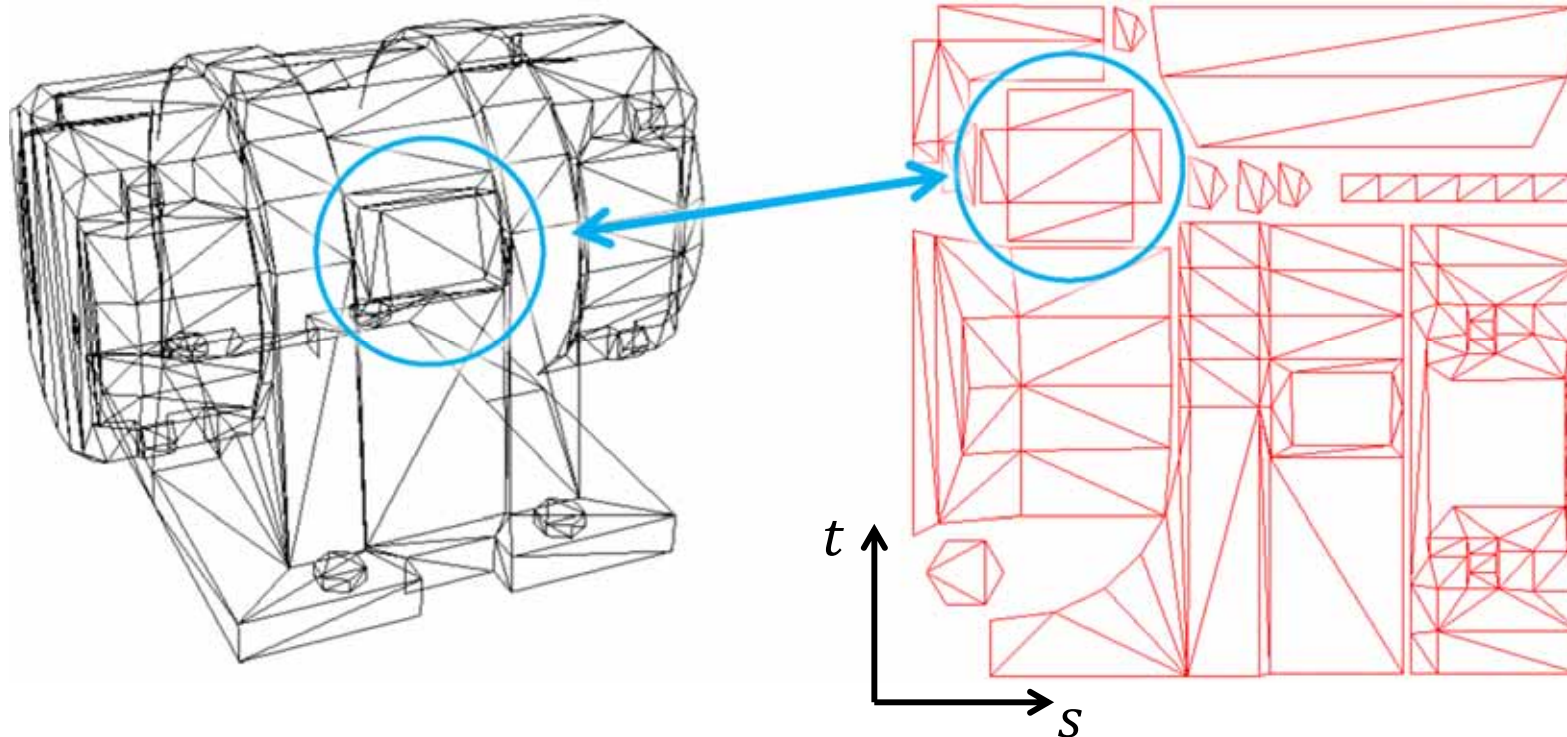
Normal Maps Erzeugen

- ▶ Idee: fehlendes Detail im groben Netz wird in Form von Normalen in einer Textur gespeichert
- ▶ wir besprechen kurz die Funktionsweise im Prinzip
- ▶ es gibt diverse Tools, die diese Berechnung übernehmen
 - ▶ xNormal (www.xnormal.net), ATI Normalmapper, NVIDIA Melody, Crytek Polybump, ...



Normal Maps Erzeugen

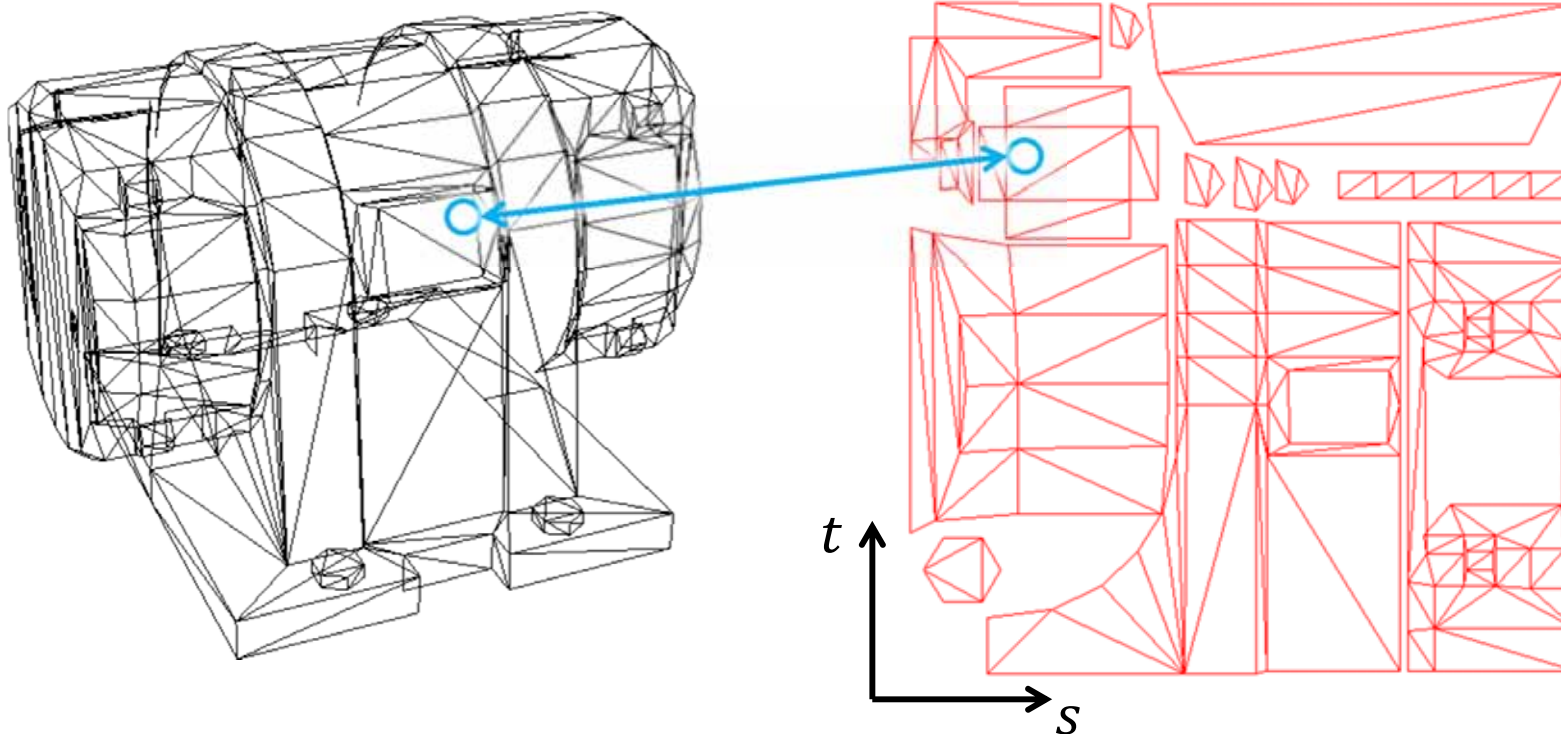
- ▶ Eingabedaten
 - ▶ **feines Netz**: Eckpunkte und Normalen
 - ▶ **grobes Netz**: zusätzlich eine 2D Parametrisierung (Textur-Atlas)



Normal Maps Erzeugen

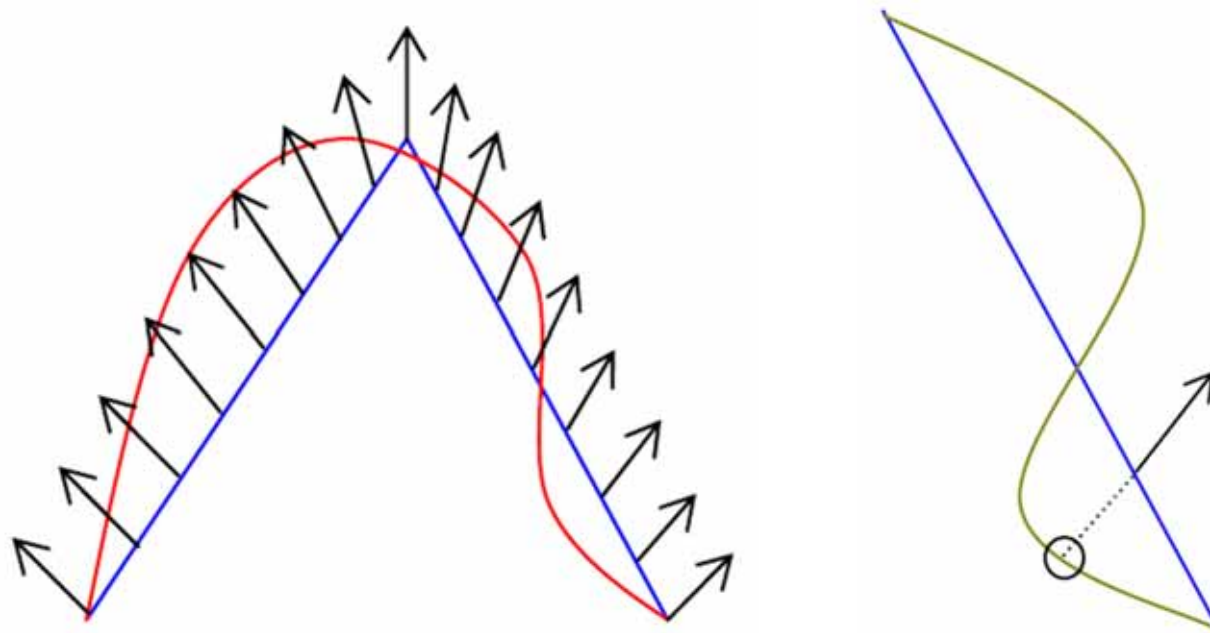


- ▶ für jeden Texel (s, t) in der Bumpmap
 - ▶ bestimme Dreieck zu dem er gehört (anhand der Texturkoordinaten)
 - ▶ bestimme Koordinate und Normale (auf dem niedrig aufgelösten Dreiecksnetz)



Normal Maps Erzeugen

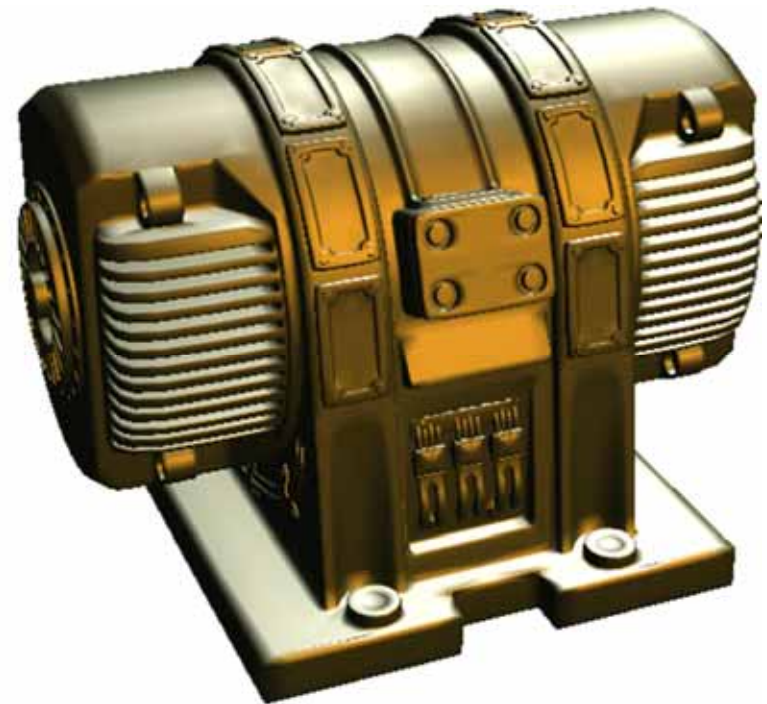
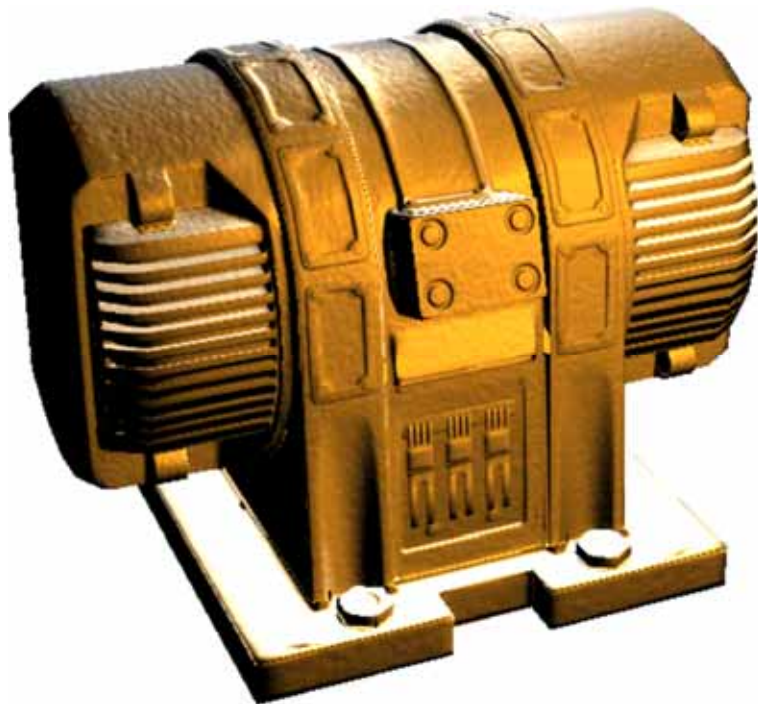
- ▶ für jeden Texel (s, t) in der Bumpmap mit Koordinate und Normale (des Punktes auf dem niedrig aufgelösten Dreiecksnetz):
 - ▶ bestimme nahsten Schnittpunkt mit dem feinen Netz entlang der Normale (kann auch in negativer Richtung liegen)
 - ▶ speichere Normale des feinen Netzes am Schnittpunkt im Textur-Atlas
 - ▶ (analog könnte man auch die Entfernung speichern und somit Displacement Maps erzeugen)



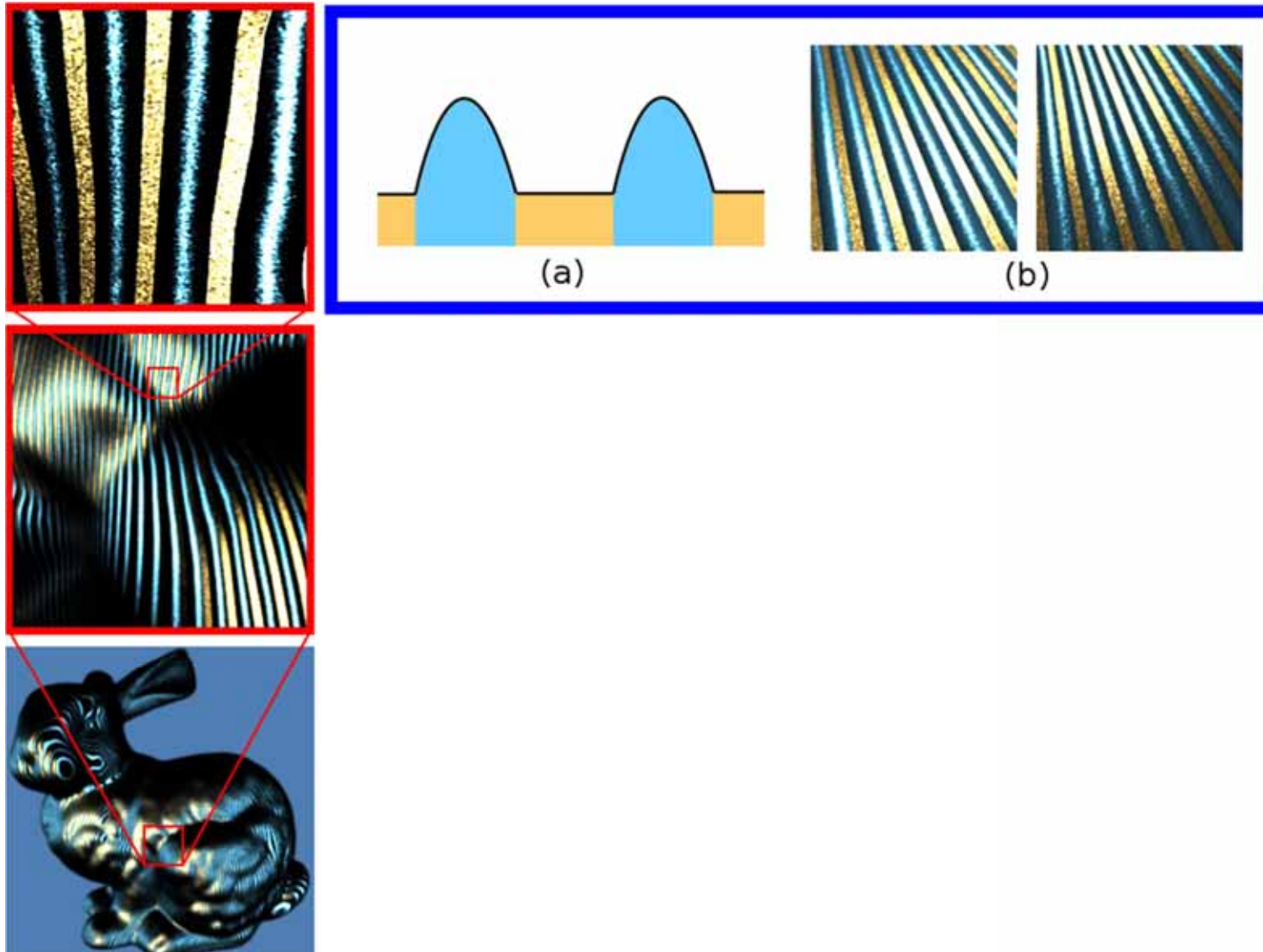
Normal Maps



- ▶ Resultat (hier allerdings mit unterschiedlicher Beleuchtung)



Normal Maps und Texturfilterung

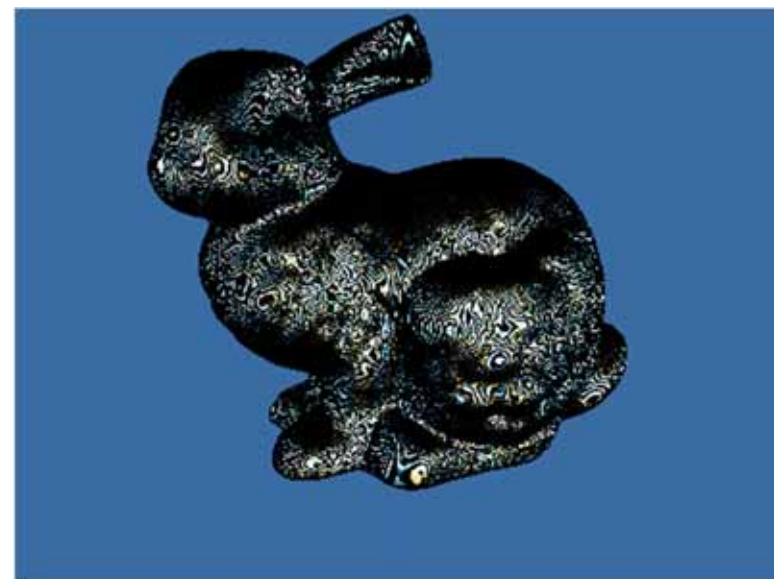
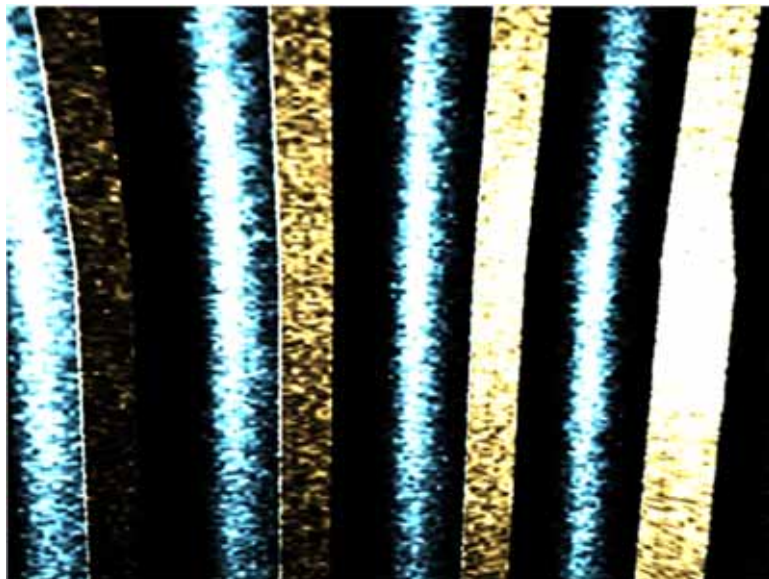
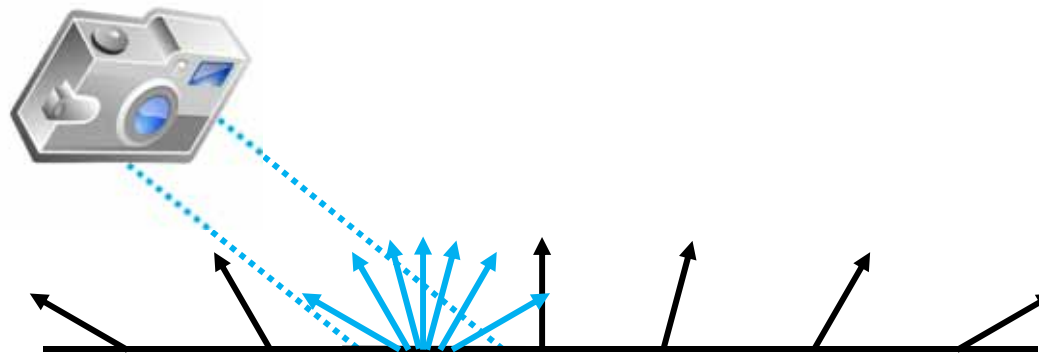


Supersampling
(„ground-truth“)

Normal Maps und Texturefiltering



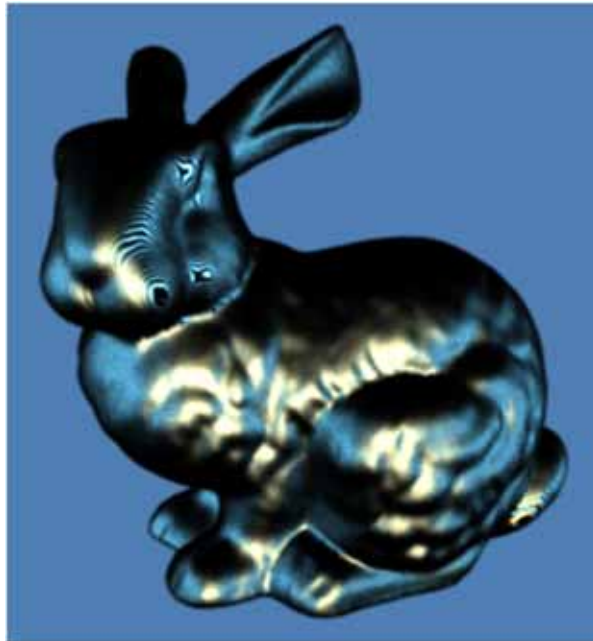
- ▶ Problem bei Verkleinerung (mehrere Texel – also Normalen – pro Pixel)
- ▶ hier: Nearest-Neighbor-Sampling
- ▶ wie berechnet man Mip-Maps von Normal Maps?



Normal Maps und Texturefiltering

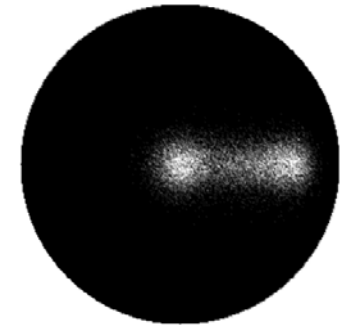
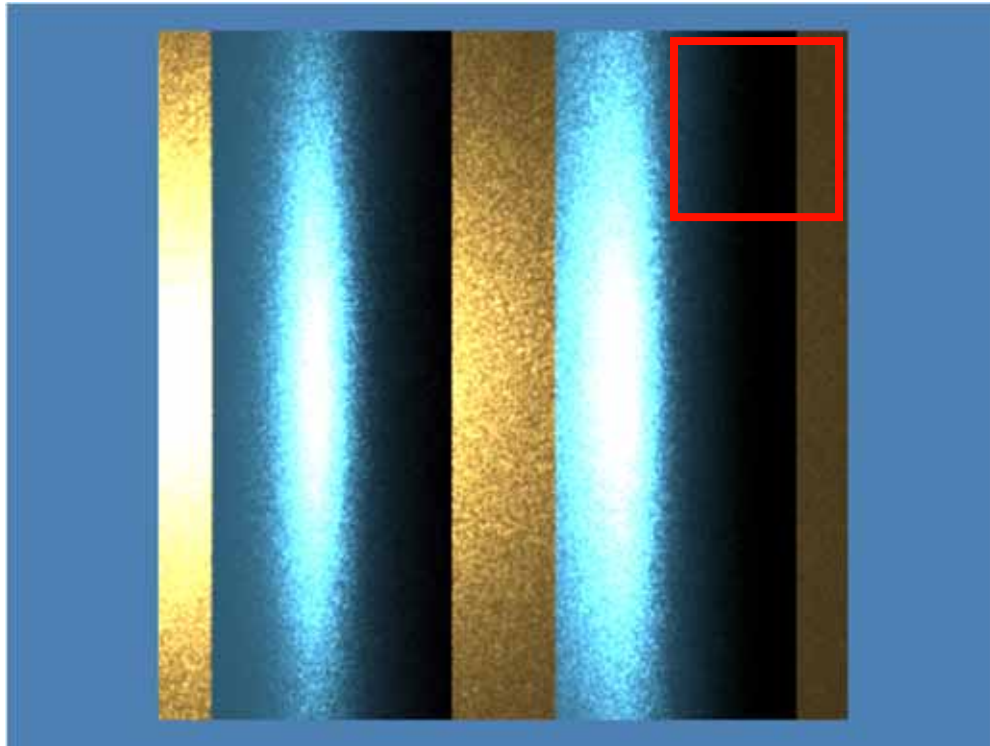


- ▶ Supersampling (links): Beleuchtungsberechnung mit vielen Normalen, anschließend Mittelung der Farbe → korrekt!
- ▶ Mip-Mapping (rechts): zuerst Mittelung der Normale, anschließend einmalig Beleuchtungsberechnung → Änderung der Materialerscheinung
 - ▶ durch Mittelung der Normalen wird die Fläche glatter (Tendenz zur makroskopischen Oberflächennormale)



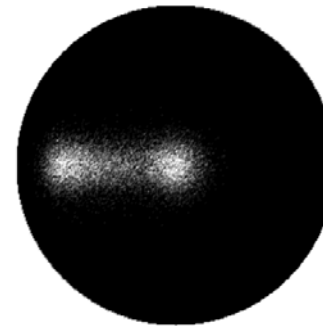
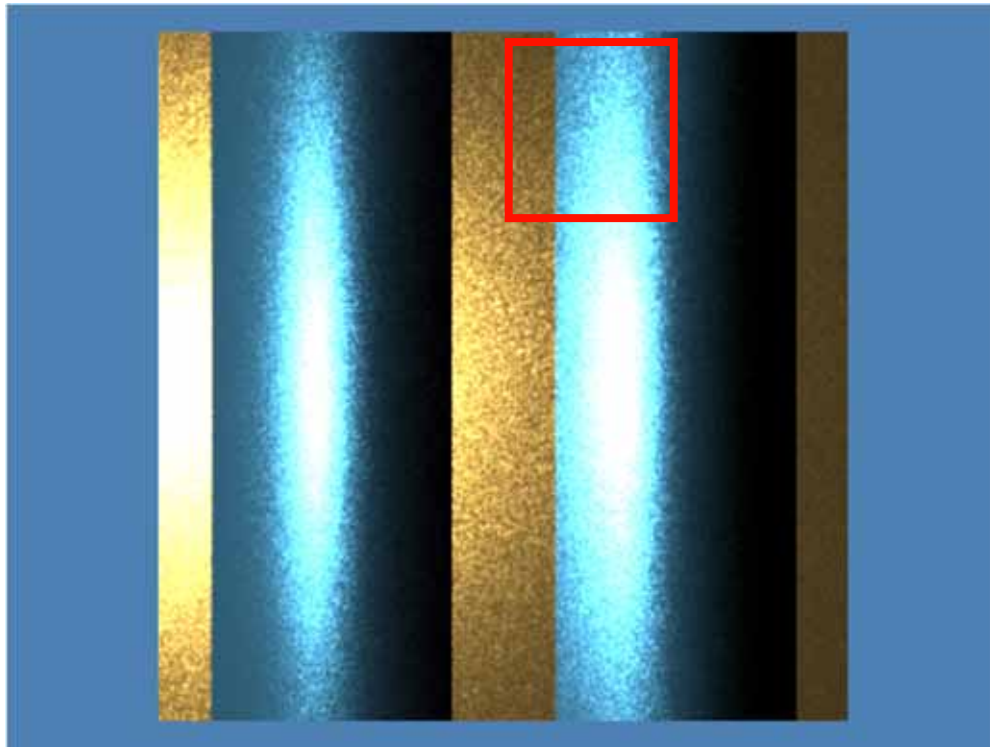
Normal Distribution Function

- ▶ Idee: speichere eine Verteilung der Normalenrichtung pro Texel
- ▶ benötigt mehr Speicher, Verteilungen können aber „gemittelt“ werden
→ konstanter Speicherbedarf pro Texel



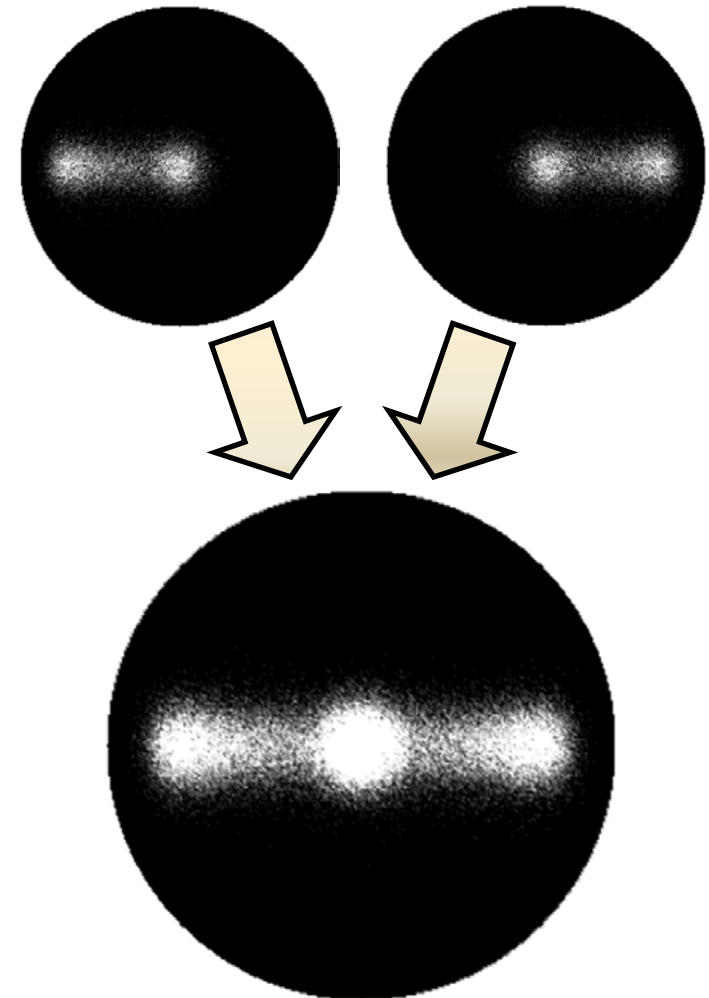
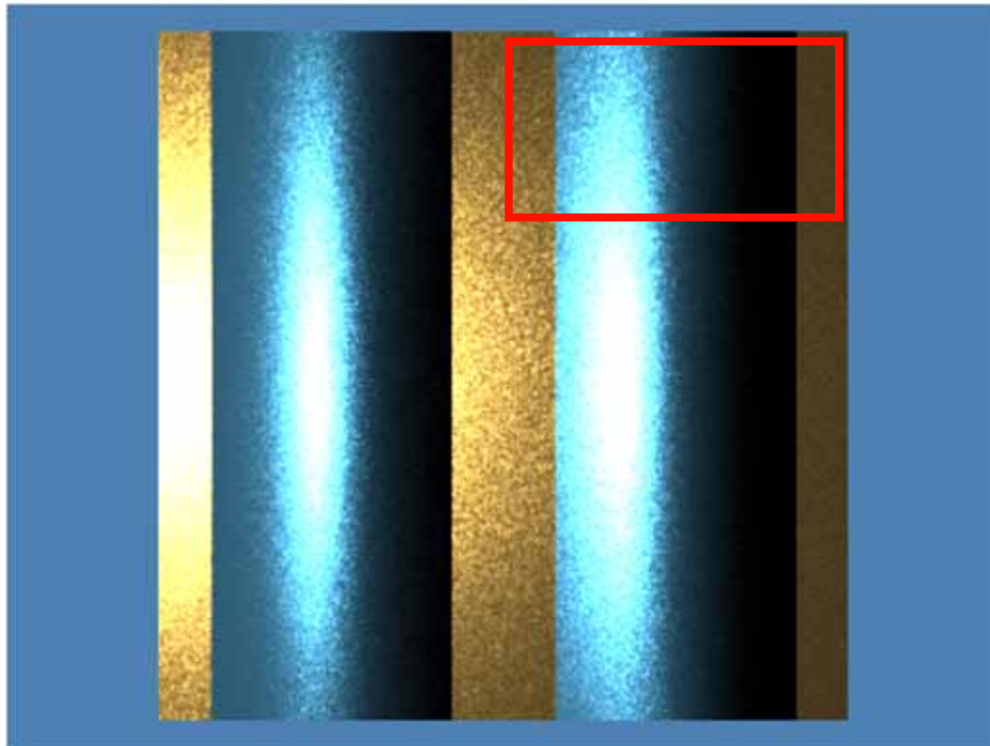
Normal Distribution Function

- ▶ Idee: speichere eine Verteilung der Normalenrichtung pro Texel
- ▶ benötigt mehr Speicher, Verteilungen können aber „gemittelt“ werden
→ konstanter Speicherbedarf pro Texel



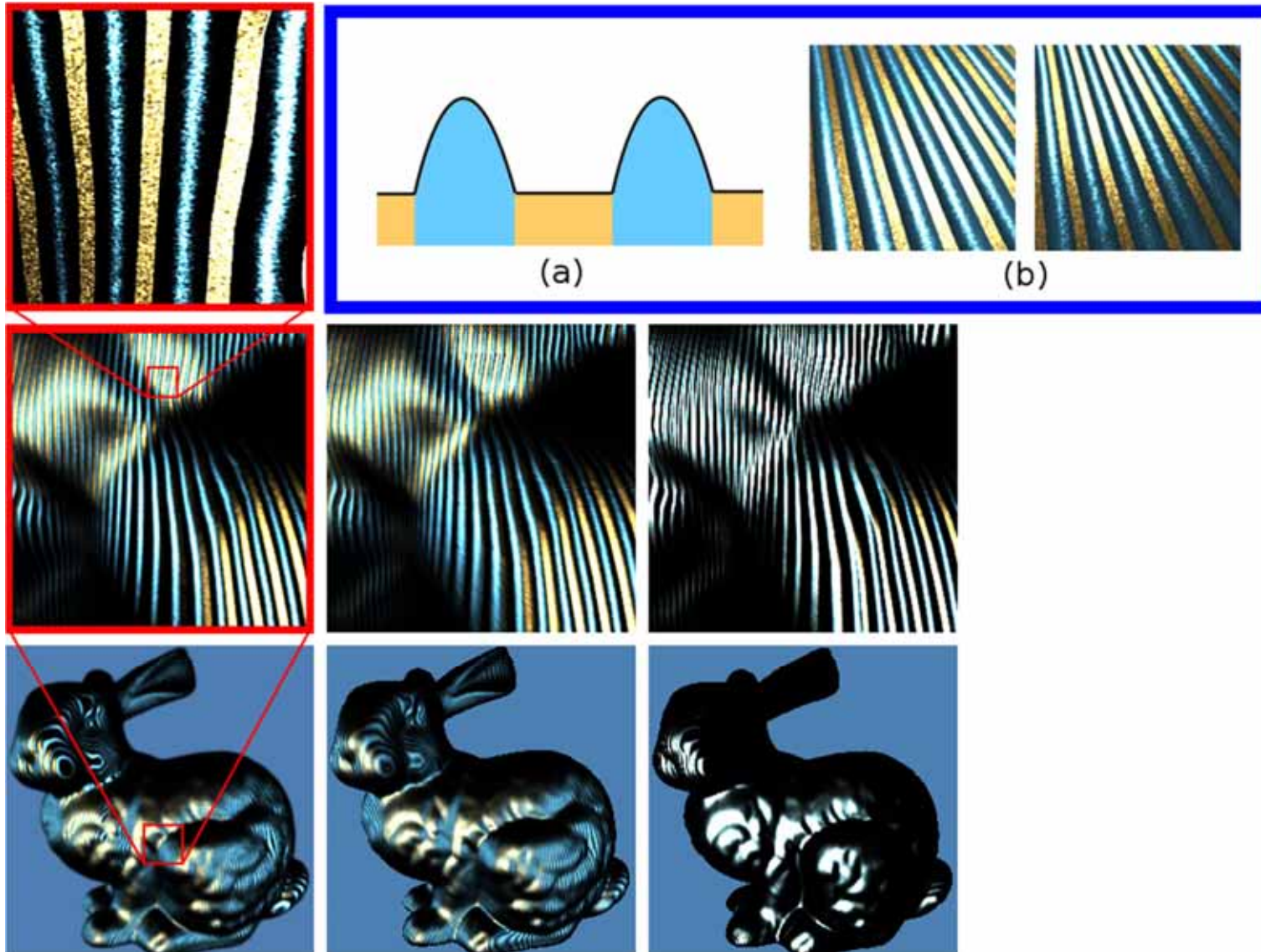
Normal Distribution Function

- ▶ Idee: speichere eine Verteilung der Normalenrichtung pro Texel
 - ▶ benötigt mehr Speicher, Verteilungen können aber „gemittelt“ werden
 - konstanter Speicherbedarf pro Texel



Frequency Domain Normal Map Filtering
 Han et al., SIGGRAPH 2007

Normal Maps und Texturefiltering



Supersampling
(„ground-truth“)

Han et al.
Frequency Domain
Normal Map Filtering

herkömmliches
Mip-Mapping

Texture Space Lighting

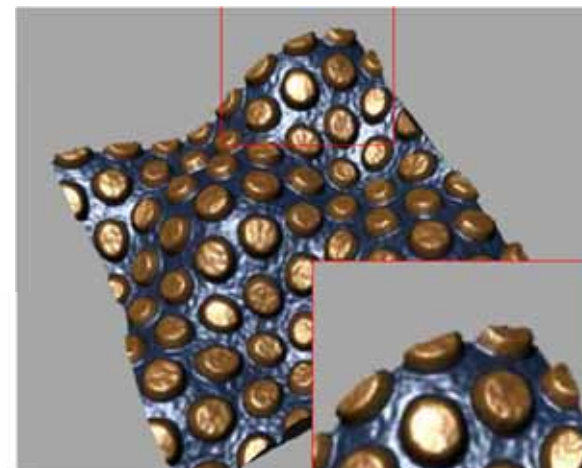
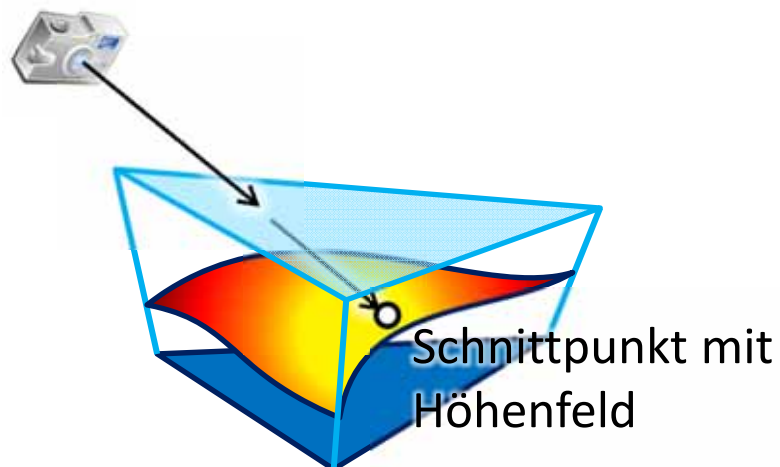
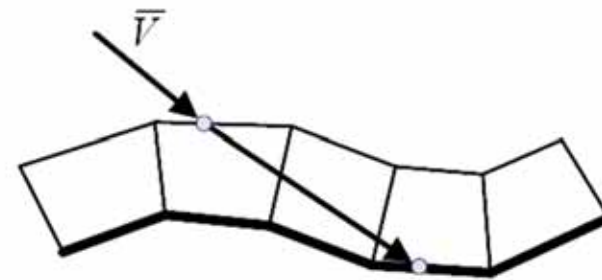
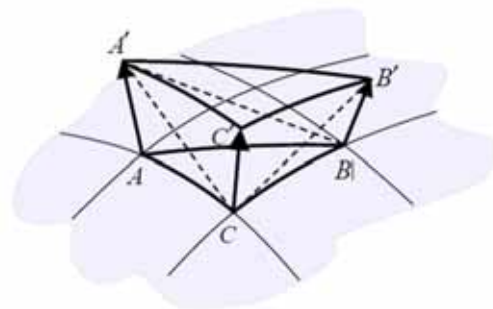
- ▶ alternative Lösung: Berechnung der Beleuchtung im Texturraum
 - ▶ anschließend Zeichnen des Objekts mit der resultierenden Textur (inkl. der daraus generierten Mip-Maps)
- ▶ Nachteil: Beleuchtungsberechnung unabhängig von der Größe und Verdeckung eines Objekts am Bildschirm
- ▶ Einsatz oft in Verbindung mit speziellen Beleuchtungstechniken, die Nachbarschaftsinformation benötigen (z.B. Sub-Surface Scattering, rechte Bilder, ATI Demo)



Displacement Mapping



- ▶ modifiziere die Oberfläche gemäß einer Höhenkarte auch geometrisch
 - ▶ entweder: durch Verschieben von Vertices (hierzu gibt es Tessellation-Shader, siehe späteres Kapitel)
 - ▶ oder Aufbringen einer 3D Textur/Höhenfeldes und Strahlverfolgung (Inverse Displacement Mapping):



Inverse Displacement Mapping



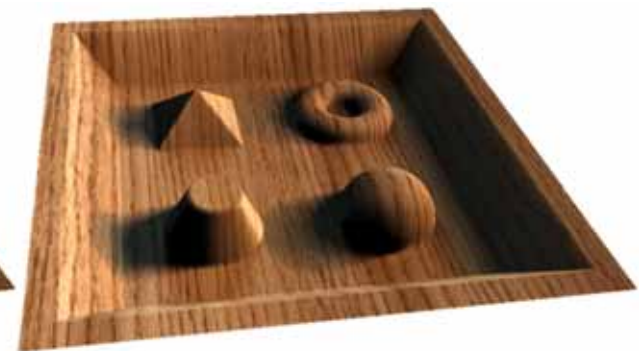
- ▶ Displacement Mapping kann **mit Einschränkungen** durch eine reine Texturierungstechnik erreicht werden
- ▶ Idee der einfachen Verfahren: betrachte eine ebene Fläche
 - ▶ die Fläche wird „nach Innen“ gezogen
 - ▶ der Schnittpunkt des Augstrahls mit der Fläche wird durch **Ray Marching** im Fragment Shader gesucht
 - ▶ Achtung – die Annahmen in diesem Verfahren sind:
1) ebene Fläche und 2) es existiert immer ein Schnittpunkt (die beiden Aspekte hängen natürlich zusammen)



Per-Pixel Lighting



Normal Mapping

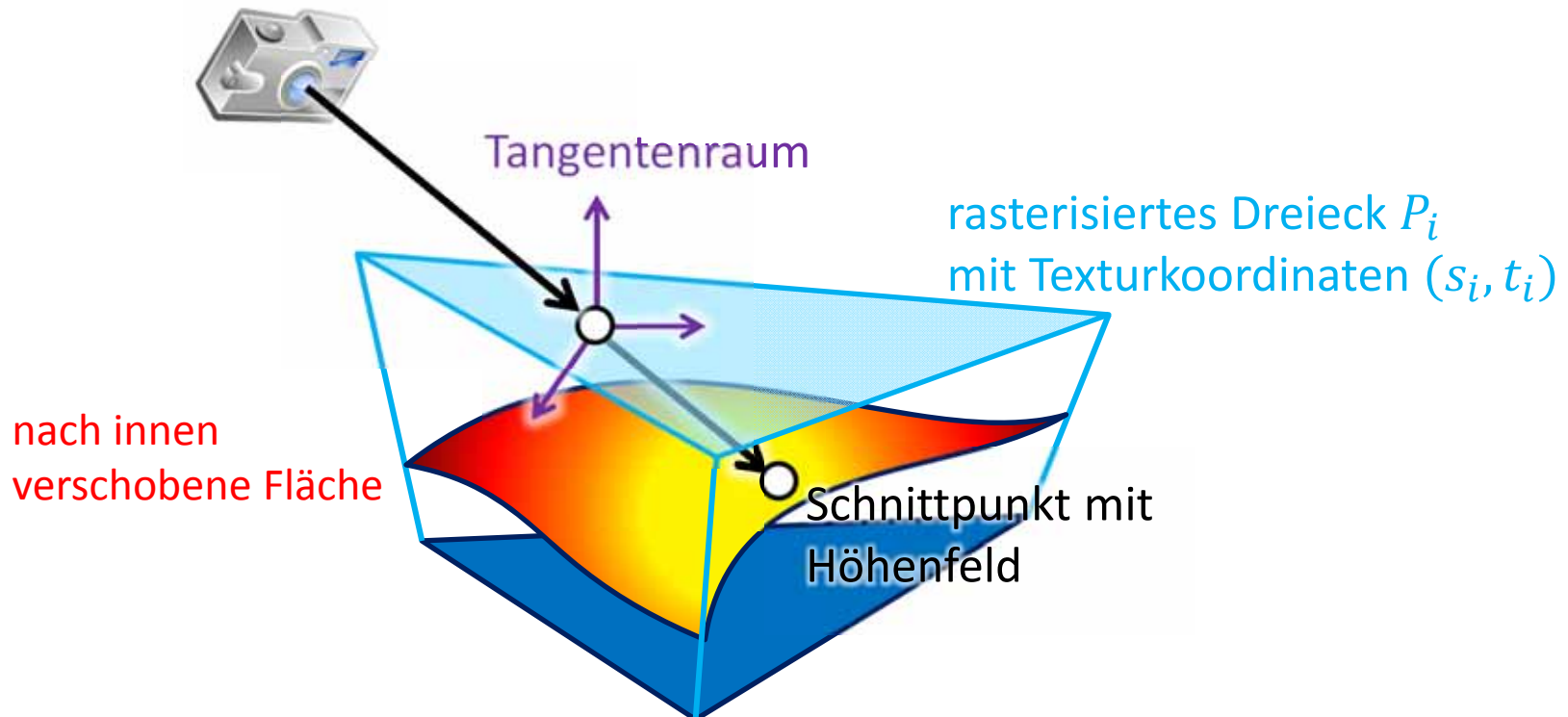


Inverse Displacement Mapping

Inverse Displacement Mapping

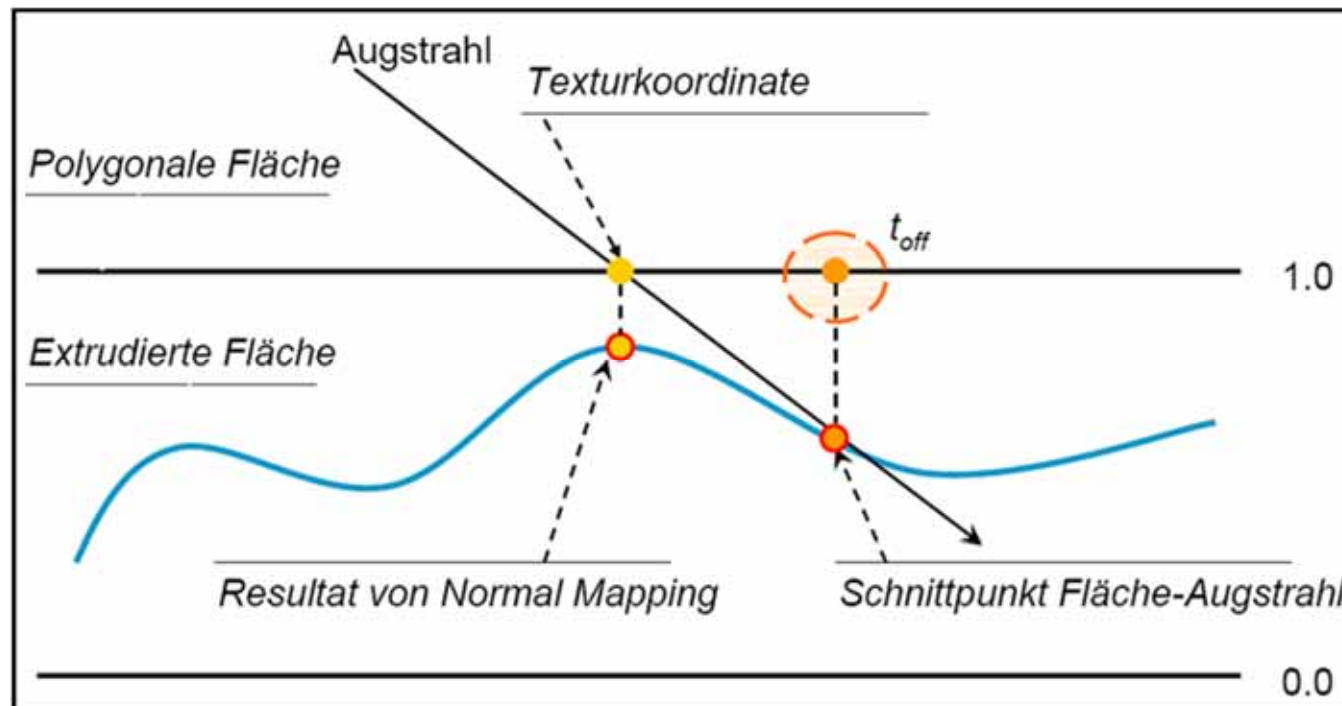


- ▶ transformiere Augstrahl und Lichtrichtung in den Tangentenraum
- ▶ finde den Schnittpunkt mit dem Höhenfeld durch Ray Marching
 - ▶ Texturkoordinate (für das Höhenfeld) ist am Eintrittspunkt des Strahls bekannt: für diesen Oberflächenpunkt wird der Shader ausgeführt
 - ▶ transformierter Augstrahl gibt die Richtung in Texturkoord. vor (hier muss man den Tangentenraum vor der Orthonormalisierung und dementsprechend die Inverse verwenden)



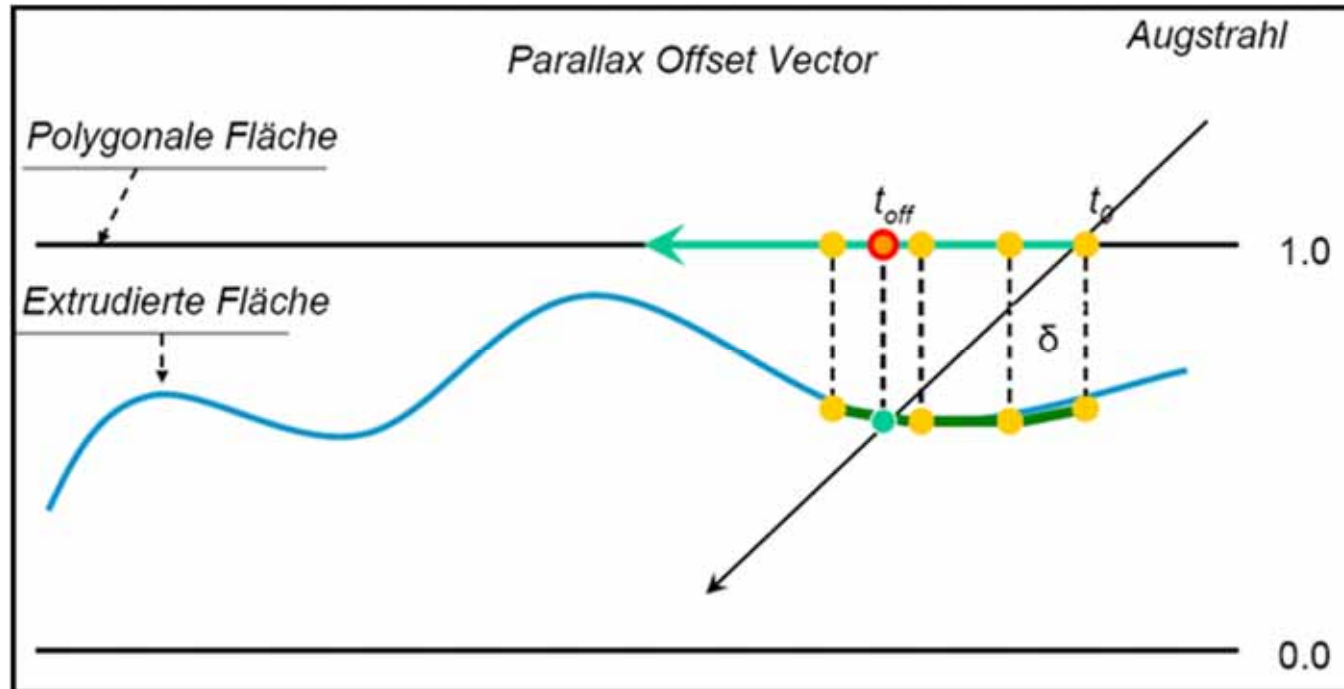
Inverse Displacement Mapping

- ▶ transformiere Augstrahl und Lichtrichtung in den Tangentenraum
- ▶ finde den Schnittpunkt mit dem Höhenfeld durch Ray Marching
 - ▶ Texturkoordinate (für das Höhenfeld) ist am Eintrittspunkt des Strahls bekannt: für diesen Oberflächenpunkt wird der Shader ausgeführt
 - ▶ transformierter Augstrahl gibt die Richtung in Texturkoord. vor
- ▶ verwende Lichtrichtung, um Beleuchtungs- und Schattenberechnung durchzuführen



Schnittpunktberechnung

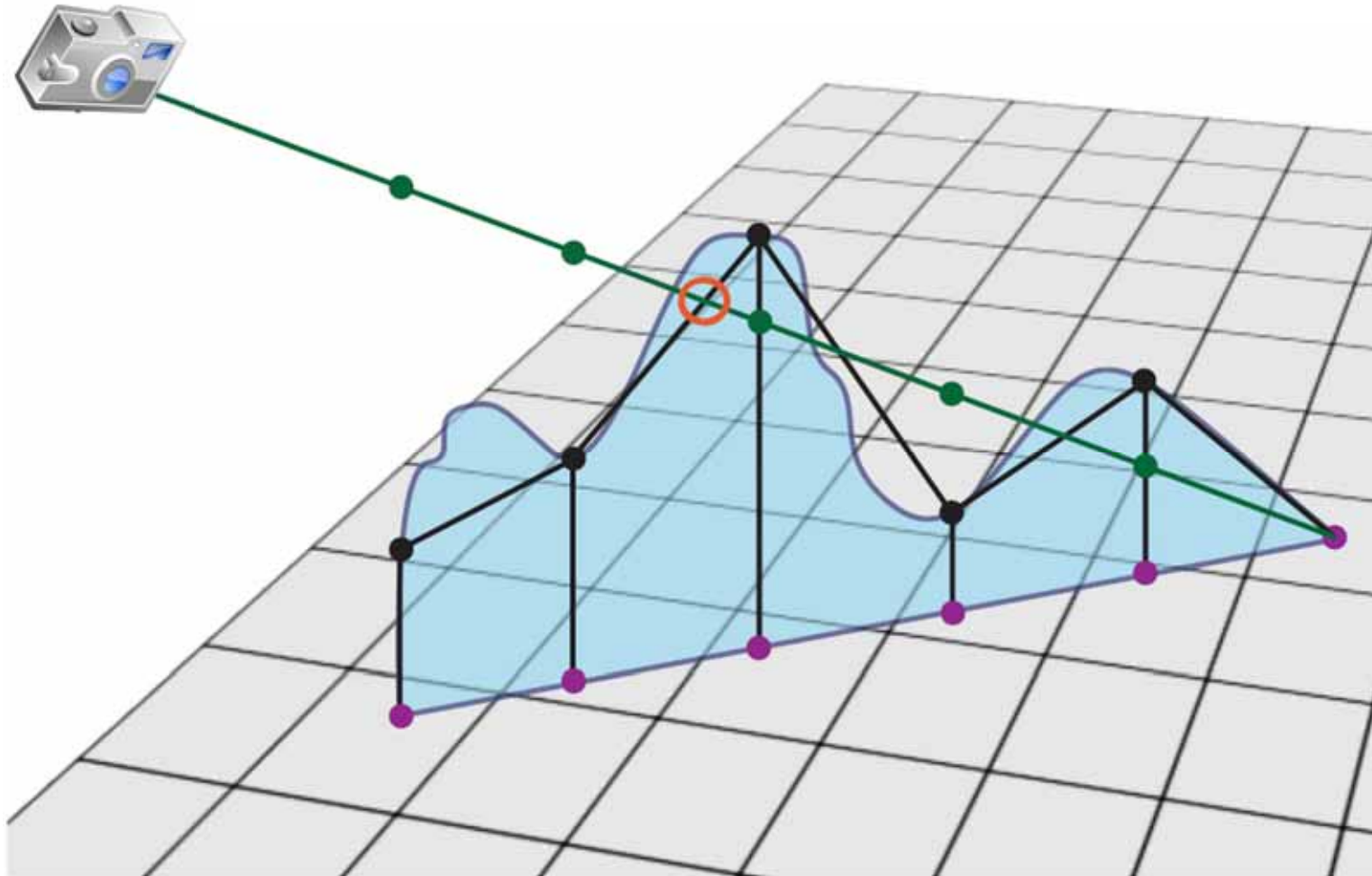
- ▶ Ray Marching entspricht einer linearen Suche
 - ▶ marschiere in kleinen Schritten am Strahl entlang
 - ▶ bis der Strahl unter dem Höhenfeld angelangt ist
- ▶ Anm. es gibt verschiedene Strategien den Schnittpunkt zu finden
 - ▶ Verfahren ähnlich der Idee von Sphere-Tracing
 - ▶ binäre Suche, u.v.m.



Inverse Displacement Mapping



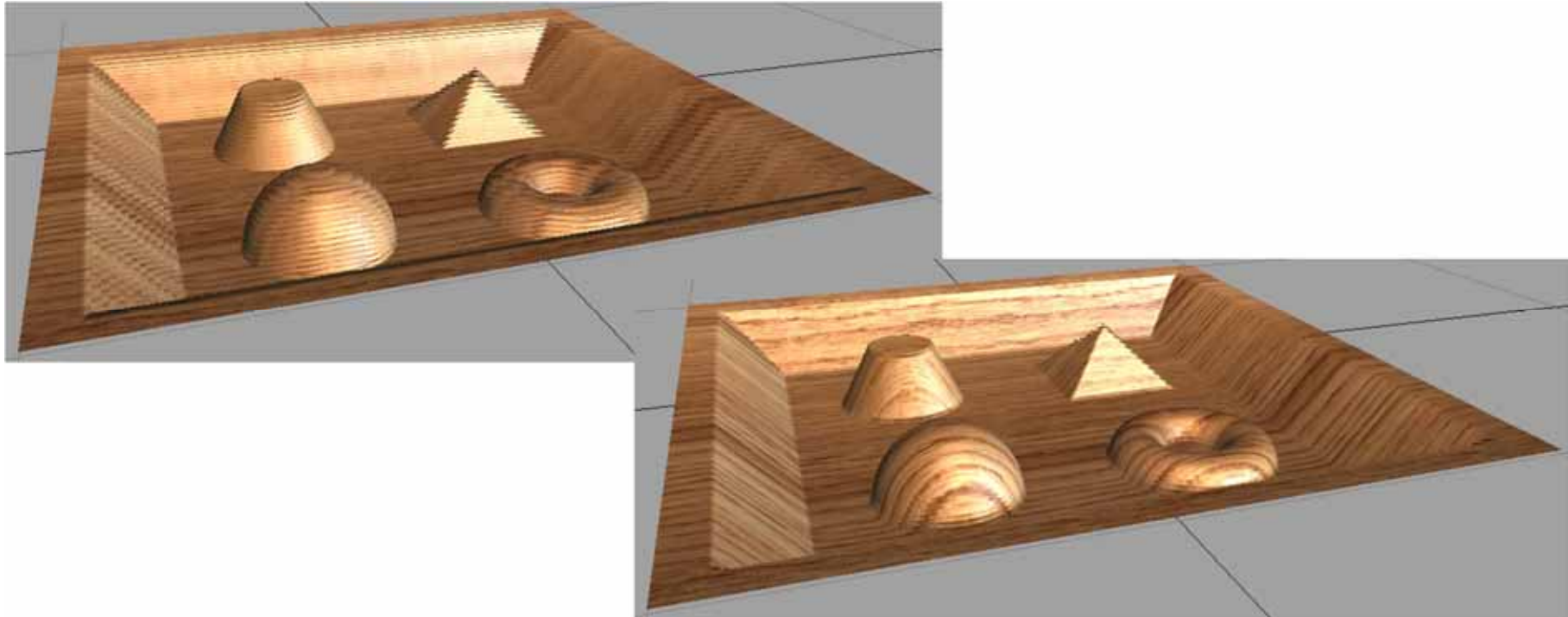
- ▶ eine bessere Näherung des Schnittpunkts erhalten wir im Anschluss unter der Annahme, dass die Fläche stückweise linear ist



Inverse Displacement Mapping



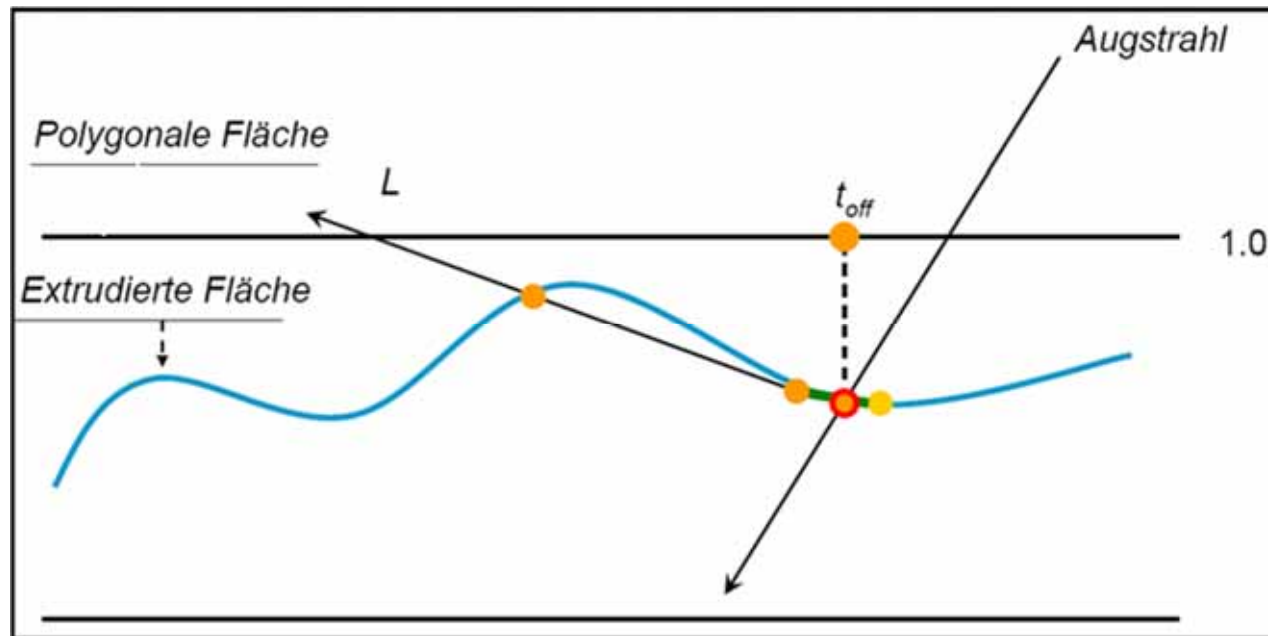
- ▶ links: einfache lineare Suche
- ▶ rechts: lineare Suche, gefolgt von der Nachbesserung



- ▶ Schrittweite / meist genügen 32-128 Schritte für das Ray Marching
 - ▶ dynamische Anpassung an die Strahlrichtung: je flacher der Augstrahl, desto weiter ist die Strecke (potentiell), die der Strahl zurücklegt, bevor er das Höhenfeld trifft

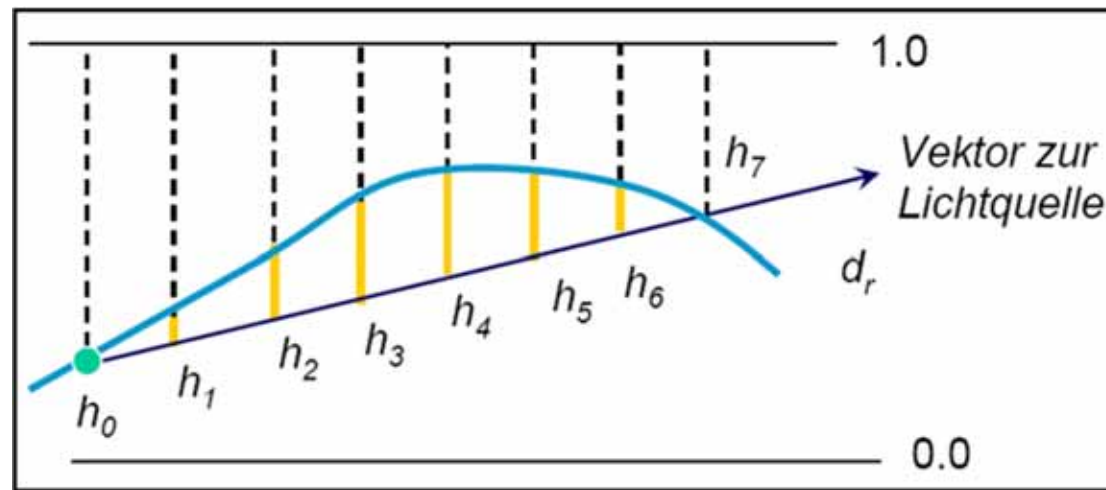
Schatten

- ▶ wenn der Schnittpunkt mit der Oberfläche gefunden ist, kann ein zweiter Strahl in Richtung der Lichtquelle verfolgt werden
- ▶ wird ein Schnittpunkt mit dem Höhenfeld gefunden, dann verschattet sich die Oberfläche selbst

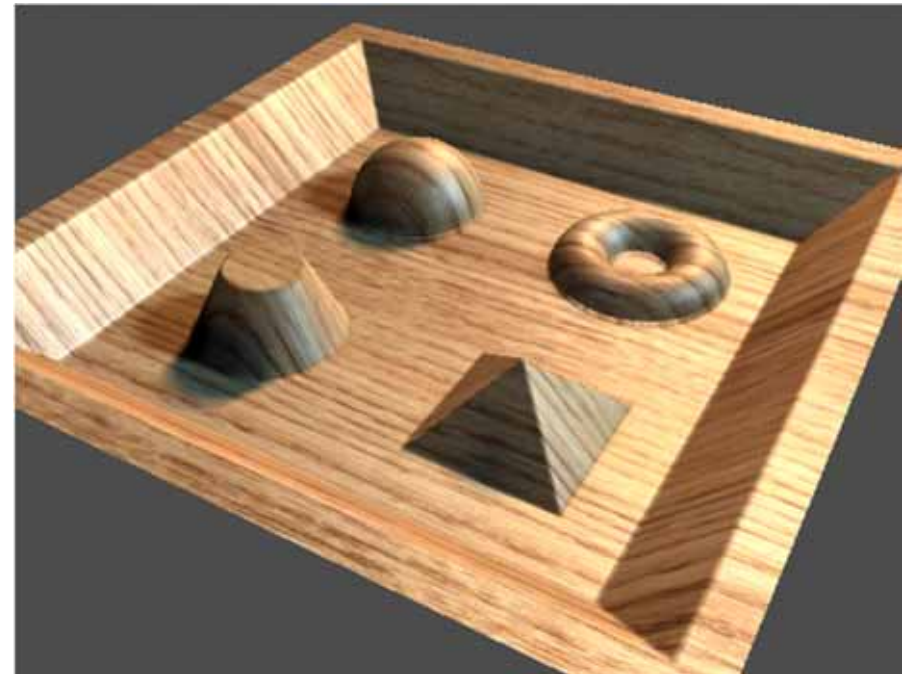
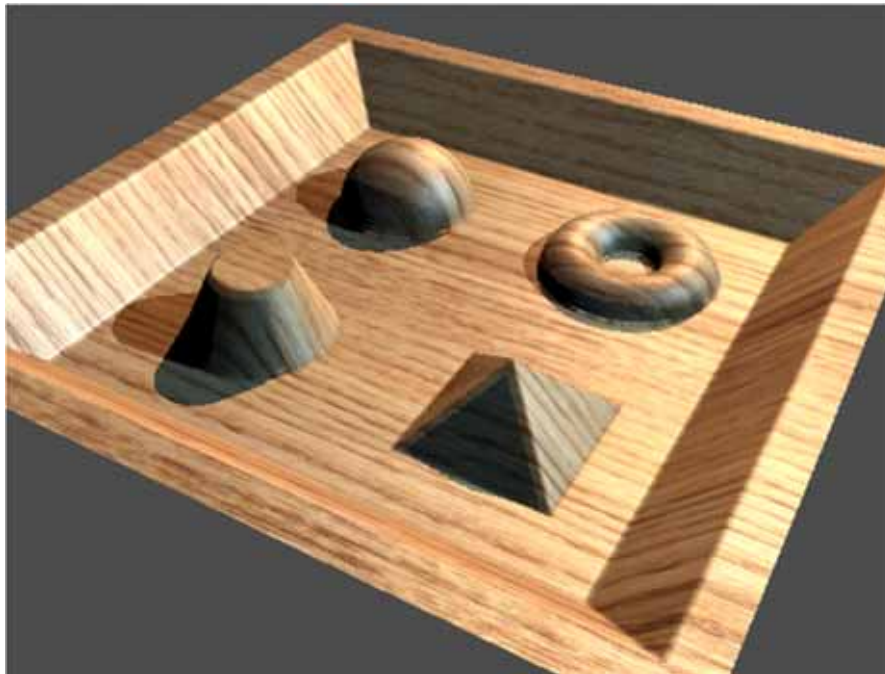


Weiche Schatten

- ▶ es können ebenfalls weiche Schatten approximiert werden
- ▶ Idee: berechne die „größte Verschattung“ durch das Höhenfeld entlang des Schattenstrahls, z.B. mit
 - ▶ Verschattung $\max_i \frac{h_i - h_0}{i+1} \cdot c$ mit
 - ▶ h_i ist der Höhenwert des i -ten Schritts entlang des Schattenstrahls
 - ▶ Konstante c (z.B. $c = 16$) modelliert Größe der LQ und Extrusion



Harte und weiche Schatten



Performance



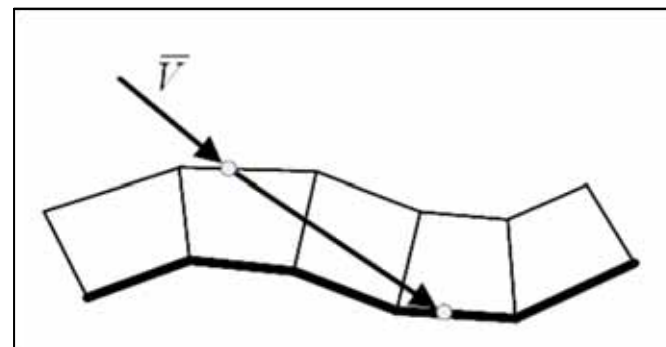
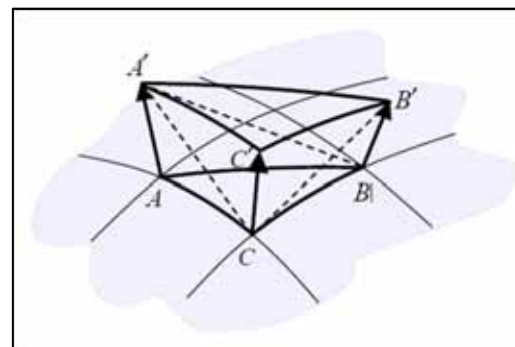
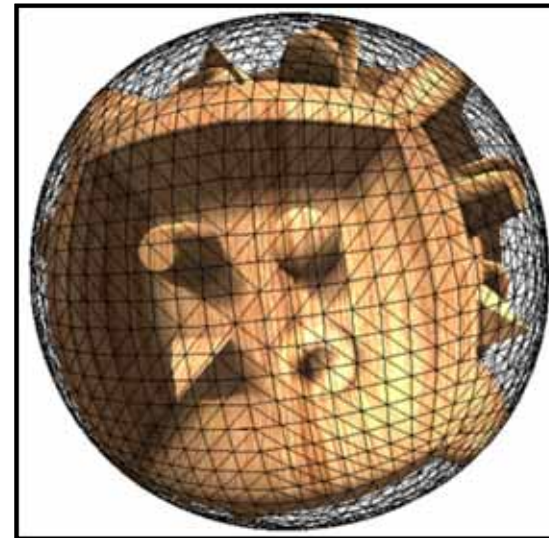
- ▶ Kontrolle der benötigten Berechnungszeit durch
 - ▶ adaptive Anzahl von Ray Marching Schritten
 - ▶ Schattenberechnungen nur für die dem Licht zugewandten Flächen
- ▶ Shader Level-of-Detail
 - ▶ für entfernte Flächen: berechne nur herkömmliches Bump Mapping
 - ▶ Skalierung des Höhenfeldes im Übergangsbereich (Bump Mapping analog zu Inverse Displacement Mapping ohne Verschiebung)



Inverse Displacement Mapping



- ▶ einfache Verfahren erzeugen nur Parallaxeffekte und Verdeckung, aber keine Silhouetten
- ▶ aufwändigere Ray Marching Verfahren, die Silhouetten korrekt berechnen, sind heute selten...



Inverse Displacement Mapping



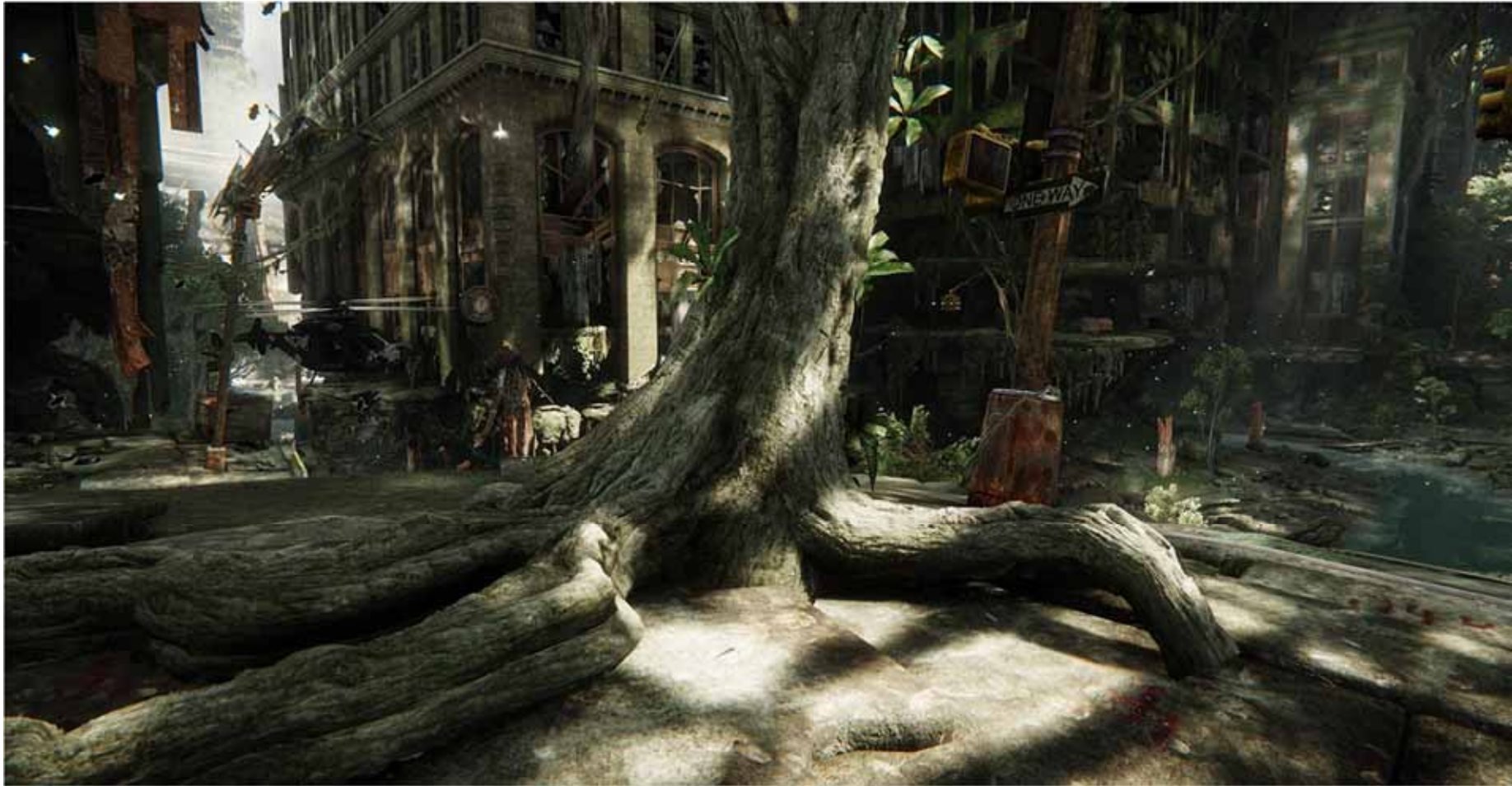
▶ ohne Displacement Mapping



Inverse Displacement Mapping



▶ mit Displacement Mapping



Inverse Displacement Mapping

- ▶ Vertex Shader: Transformation und Extrudieren der Vertizes
- ▶ Geometry Shading: erzeuge Prismen und Hüllkörper
- ▶ Pixel Shader: Ray Marching
- ▶ nicht ganz trivial:
 - ▶ Seitenflächen sind bilineare Patches
 - ▶ Abbildung Weltkoordinaten \leftrightarrow Texturkoordinaten (Jeschke07)
 - ▶ viel Arbeit für den Pixel Shader, Flaschenhals ist aber Geometry Shader

